

АЗӘРБАЙЧАН ССР ЭЛМЛӘР АКАДЕМИЯСЫ  
АКАДЕМИЯ НАУК АЗЕРБАЙДЖАНСКОЙ ССР

---

МӘ'RУЗӘЛӘР  
ДОКЛАДЫ

ТОМ IX

№ 1

1953

---

АЗӘРБАЙЧАН ССР ЭЛМЛӘР АКАДЕМИЯСЫНЫН НӘШРИЙАТЫ  
ИЗДАТЕЛЬСТВО АКАДЕМИИ НАУК АЗЕРЕЙДЖАНСКОЙ ССР  
БАКЫ—БАКУ

АЗЭРБАЙЧАН ССР ЭЛМЛЭР АКАДЕМИЯСЫ  
АКАДЕМИЯ НАУК АЗЕРБАЙДЖАНСКОЙ ССР

---

# МЭРҮЗЭЛЭР ДОКЛАДЫ

ТОМ IX

№ 1

1953

---

АЗЭРБАЙЧАН ССР ЭЛМЛЭР АКАДЕМИЯСЫНЫН НЭШРИЙТЫ  
ИЗДАТЕЛЬСТВО АКАДЕМИИ НАУК АЗЕРБАЙДЖАНСКОЙ ССР  
БАКЫ – БАКУ

АСТРОФИЗИКА

СОДЕРЖАНИЕ

Астрофизика

- Г. Ф. Султанов—Теоретические распределения элементов орбит  
осколков гипотетической планеты Ольберса . . . . . 3

Энергетика

- А. А. Эфендизаде—Автоматизированная система регулирования скоро-  
сти асинхронного двигателя . . . . . 9

Химическая кинетика

- С. С. Багдасарян—Экспериментальное исследование физической  
адсорбции газов в потоке . . . . . 15

Гидрогеология

- А. Г. Аскеров—Гидрогеологические условия формирования месторож-  
дения сирабских минеральных вод . . . . . 21

- И. Я. Давыдов—О методике изучения режима химиазма поверхност-  
ных водотоков в связи с изучением режима химиазма надземных вод . . . . . 27

Петрография

- Д. М. Сулейманов и Н. В. Пашалы—Геолого-петрографический  
 очерк грязевого вулкана Отманбоздаг . . . . . 31

Микробиология

- Г. С. Касимова, А. Г. Пакусин—Образование кристаллов маг-  
ниийаммонийфосфата в результате жизнедеятельности микробов . . . . . 37

Агрохимия

- М. Ш. Рустамов—О методе предварительного определения дозы кис-  
лого гудрона при кисловании щелочных почв . . . . . 45

Фармакология

- А. И. Каравин и Р. К. Алиев—О ранозаживляющем свойстве синте-  
тических ростовых веществ . . . . . 51

Ботаника

- И. С. Сафаров—Естественное нахождение платана в Азербайджане . . . . . 55

П 5877

П 6544

Библиотека Академического  
Филиала АН ССР

Г. Ф. СУЛТАНОВ

ТЕОРЕТИЧЕСКИЕ РАСПРЕДЕЛЕНИЯ ЭЛЕМЕНТОВ  
ОРБИТ ОСКОЛКОВ ГИПОТЕТИЧЕСКОЙ  
ПЛАНЕТЫ ОЛЬБЕРСА

(Первый способ вывода)

(Представлено действ. членом АН Азербайджанской ССР  
М. Ф. Нагиевым)

Строятся функции распределения больших полуосей и моментов  
количеств движения осколков.

Выбор в первую очередь этих элементов объясняется тем, что в  
некоторых из осредненных схем, построенных профессором Н. Д. Мои-  
сеевым [1], при частичном учете возмущений, эти элементы сохра-  
няют постоянные значения, следовательно, результаты анализа без уче-  
та возмущений останутся верными и при учете части вековых возму-  
щений. Для более полного учета возмущений от Юпитера исследует-  
ся распределение постоянных интеграла Якоби в ограниченной зада-  
че Солнце—Юпитер—осколок.

Предполагаем, что гипотетическая планета Ольберса, двигаясь  
вокруг Солнца по эллиптической орбите, в момент прохождения че-  
рез перигелий распалась на несколько крупных частей. В свою оче-  
редь каждый первичный осколок, двигаясь по определенной эллипти-  
ческой орбите, распался на части. Начальное положение каждого  
осколка считаем совпадающим с центром соответствующего первичного  
крупного осколка. Все направления скоростей осколков считаем рав-  
новероятными, тогда как величины скоростей осколков относительно  
любого первичного крупного осколка подчинены произвольному за-  
кону.

Ограничимся составлением теоретических функций распределения  
элементов орбит осколков одного первичного крупного осколка. По-  
лученные теоретические распределения содержат некоторые буквен-  
ные параметры. Изменением величин этих параметров легко можно  
получить теоретические функции распределения осколков других пер-  
вичных крупных осколков.

При исследовании мы воспользовались методом, примененным  
Н. Д. Моисеевым в его работе о происхождении комет [2].

Считаем, что величины скоростей осколков относительно первичного крупного осколка не превосходят величины скорости первичного крупного осколка относительно Солнца.

Плоскость орбиты первичного крупного осколка предполагается совпадающей с плоскостью орбиты Юпитера. Эту плоскость считаем за основную плоскость прямоугольной системы координат с началом в Солнце. Ось  $x$ -ов системы координат направим в перигелий первичного крупного осколка. Ось  $y$ -ов лежит на основной плоскости долготой  $90^\circ$  в направлении движения первичного крупного осколка. И, наконец, ось  $z$  направим в полюс орбиты первичного крупного осколка.

Обозначим через  $R$  расстояние первичного крупного осколка от Солнца в момент его распада, через  $\bar{w}$  — его орбитальную скорость в тот же момент и через  $\Sigma$  — его центр.

Вектор скорости  $v$  одного из осколков относительно первичного крупного осколка определяется величинами  $v$ ,  $\beta$  и  $\lambda$  или  $v$ ,  $\gamma$  и  $\chi$ , где  $\beta$  — широта (отсчитывается по обе стороны от основной плоскости до  $\pm 90^\circ$ ),  $\lambda$  — долгота (отсчитывается от положительного конца оси  $x$ -ов до  $360^\circ$  по движению),  $\gamma$  — угол между направлениями векторов скорости первичного крупного осколка относительно Солнца и скорости осколка относительно первичного крупного осколка и, наконец,  $\chi$  — двугранный угол между плоскостями  $S\Sigma O$  и  $O\Sigma K$ , т. е.  $\chi = \angle KK_1K$ , где  $K_1K \perp \Sigma O$  и  $KK_1 \perp \Sigma K$ .

Гелиоцентрическая скорость того же осколка определяется величинами  $r$ ,  $\eta$  и  $i$ , где  $\eta$  — угол между направлениями радиуса вектора первичного крупного осколка и гелиоцентрической скорости осколка,  $i$  — двугранный угол между плоскостями  $S\Sigma O$  и  $S\Sigma K$ , равный наклону гелиоцентрической плоскости орбиты осколка к плоскости орбиты первичного крупного осколка.

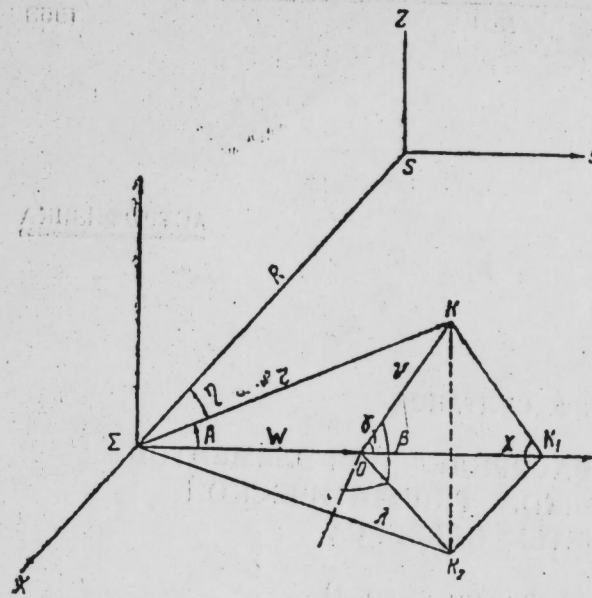
Обозначим через  $Y(v)$  функцию распределения величин скоростей осколков относительно центра первичного крупного осколка.

Число осколков, концы векторов, скорости которых заключены внутри бесконечно малого элемента объема  $v^2 \cos \beta dv d\beta d\lambda$ , определяется выражением  $Y_e(v) v^2 \cos \beta dv d\beta d\lambda$ , где  $Y_e(v)$  — плотность концов векторов скоростей на сфере радиусом  $v$  и определяется формулой

$$Y_e(v) = \frac{Y(v)}{4\pi v^2} \quad (1)$$

Тогда полное количество осколков  $G$ , образовавшихся от распада одного первичного крупного осколка, выражается формулой

$$G = \int_{v=0}^b \int_{\beta=-\pi/2}^{\pi/2} \int_{\lambda=0}^{2\pi} Y_e(v) v^2 \cos \beta dv d\beta d\lambda \quad (2)$$



Принимая во внимание равенства:

$$v^2 = r^2 + w^2 - 2wr \cos A \quad (3)$$

$$v \sin \beta = r \sin A \sin z \quad (4)$$

$$v \cos \beta \cos \lambda = r \sin A \cos z, \quad (5)$$

и рисунок, из (2) легко получим

$$G = \int_{r=w-b}^{w+b} \int_{A=0}^{\arccos \frac{r^2+w^2-b^2}{2wr}} \int_{z=0}^{2\pi} Y_e(v) r^2 \sin A dr dA dz, \quad (6)$$

где  $A$  есть угол между направлениями скоростей первичного крупного осколка и осколка относительно Солнца.

В момент распада рассматриваемые элементы выражаются в следующем виде:

$$\frac{1}{a} = \frac{2}{R} - \frac{r^2}{K^2} \quad (7)$$

$$KV\bar{p} \cos i = Rr \cos A \quad (8)$$

$$h_0 = -\frac{K^2}{R} - R\mu_J r \cos A + \frac{r^2}{2} \quad (9)$$

$$e^2 = 1 - \left( \frac{2}{R} - \frac{r^2}{K^2} \right) \frac{R^2 r^2}{K^2} \sin^2 \eta \quad (10)$$

Обозначим функцию распределения осколков по  $a$  через  $f(a)$ , по  $KV\bar{p} \cos i$  — через  $L(KV\bar{p} \cos i)$ , по  $h_0$  — через  $H(h_0)$ , по  $a$  и  $e$  — через  $E(a, e)$ .

Преобразованием интеграла (6) в наружном по выбранным элементам легко можно получить выражение для этих функций в следующем виде:

$$f(a) = \frac{K^3}{4\pi a^2} \int_a^b \frac{Y(v)}{v} dv, \quad (11)$$

где

$$a = \left| KV \sqrt{\frac{2}{R} - \frac{1}{a}} - w \right|;$$

$$L(KV\bar{p} \cos i) = \frac{1}{2R} \int_a^b \frac{Y(v)}{v} dv, \quad (12)$$

где

$$a = \left| \frac{KV\bar{p} \cos i}{R} - w \right|;$$

$$H(h_0) = \frac{1}{2(w - R\mu_J)} \int_a^b \frac{Y(v)}{v} dv, \quad (13)$$

где

$$a = \left| w - R\mu_J \sqrt{R^2 \mu_J^2 + 2 \left( h_0 + \frac{K^2}{R} \right)} \right|;$$

$$E(a, e) = \frac{K \cdot e}{\pi a^3 \sqrt{\frac{R^2}{a} \left( \frac{2}{R} - \frac{1}{a} \right) - (1 - e^2)}} \times$$

$$\times \int_a^b \frac{\frac{y(v)}{v} dv}{\sqrt{4 \cdot \frac{w^2}{K^2} (1-e^2) - \frac{R^2}{a} \left( \frac{2}{R} - \frac{1}{a} + \frac{w^2-v^2}{K^2} \right)^2}}, \quad (14)$$

где  $a = \sqrt{K^2 \left( \frac{2}{R} - \frac{1}{a} \right) - \frac{2wK\sqrt{a(1-e^2)}}{R}};$

$$\text{где } \frac{1}{\frac{2}{R} - \left( \frac{w-b}{K} \right)^2} \leq a \leq \frac{1}{\frac{2}{R} - \left( \frac{w+b}{K} \right)^2} \quad (15)$$

$$R(w-b) \leq KVp \cos i \leq R(w+b) \quad (16)$$

$$-\frac{R^2}{R} - R_{\mu}(w-b) + \frac{(w-b)^2}{2} \leq h_0 \leq -\frac{R^2}{R} - R_{\mu}(w+b) + \frac{(w+b)^2}{2} \quad (17)$$

$$R \left( \frac{w-b}{K} \right)^2 - 1 \leq e \leq \left( \frac{w+b}{K} \right)^2 - 1. \quad (18)$$

Нетрудно убедиться в том, что функция  $N(a, e)$ , полученная В. Г. Фесенковым [3], является частным случаем формулы (14) при предположении о равенстве величины относительных скоростей.

Гипотеза Ольберса предложена для объяснения происхождения наблюдавшихся астероидов. Поэтому необходимо рассмотреть по возможности все те законы распределения величины скоростей, которые считаются приемлемыми. Основной целью в этой работе является выяснение в первую очередь вопроса о том, в какой мере замена предположения о равенстве величин относительных скоростей более общими предположениями влияет на результаты.

Надо учесть тот факт, что среди наблюдавшихся астероидов имеется достаточное количество таких, масса которых очень мала, то есть число астероидов меньших масс является большим. Исходя из этого, мы можем предположить, что величины скоростей  $v$  подчинены следующему закону:

$$y(v) = \frac{(n+1) \cdot G}{b^{n+1}} \cdot v^n, \quad (19)$$

где  $0 < v \leq b$ .

При  $n > 0$  это равносильно тому факту, что количество осколков меньших масс является большим. Это же получится, если считать, что каждый осколок получает одно и то же количество движения или одну и ту же кинетическую энергию, ибо при этом условии меньшие осколки получают большую начальную скорость, и осколков с большими скоростями будет больше.

При законе (19) из соотношений (11), (12) и (13) легко получим:

$$f(a) = \frac{(n+1)G}{4\pi \frac{w}{K} \left( \frac{b}{K} \right)^n} \cdot \frac{\left( \frac{b}{K} \right)^n - \left( \left| \sqrt{\frac{2}{R} - \frac{1}{a}} - \frac{w}{K} \right|^n \right)}{a^2} \quad (20)$$

$$L(KVp \cos i) = \frac{(n+1)G}{2Rb^{n+1}} \frac{b^n - \left( \left| \frac{KVp \cos i}{R} - w \right|^n \right)}{n} \quad (21)$$

$$H(h_0) = \frac{(n+1)G}{2(w-R_{\mu_j})b^{n+1}} \frac{b^n - \left( \left| w - R_{\mu_j} - \sqrt{R_{\mu_j}^2 + 2\left(h_0 + \frac{R^2}{R}\right)} \right|^n \right)}{n}. \quad (22)$$

Как видно из (20), (21) и (22), каждая из этих функций имеет хотя бы один максимум, так как на краях интервала они все обращаются в нуль.

Значит, функция распределения осколков является не монотонной, что как раз и наблюдается в эмпирических распределениях астероидов.

Если мы повторим аналогичное рассуждение для остальных первичных крупных осколков, то теоретические функции распределений осколков гипотетической планеты по выбранным элементам могут получить несколько достаточно резко выраженных максимумов, что наблюдается в эмпирических функциях распределения астероидов.

Это еще раз подтверждает, что рассмотрение распределения величин скоростей в сочетании с неравновероятностью их направлений может привести к результатам, не противоречащим гипотезе Ольберса. Однако окончательно утверждать это нельзя, без детального исследования.

Дальнейший анализ гипотезы Ольберса должен заключаться в усложнении предположений о векторах относительных скоростей.

Это является предметом последующей работы автора.

Во время выполнения работы я пользовался указаниями зав. кафедрой небесной механики МГУ проф. Н. Д. Моисеева, проф. Б. М. Щиголева и работников кафедры. Я пользуюсь случаем принести им глубокую благодарность за внимание к моей работе.

#### ЛИТЕРАТУРА

т. Н. Д. Моисеев—Труды ГАИШ, т. XV, кн. 1. 2. Н. Д. Моисеев—Труды ГАИШ 1. V, вып. 2, 1933. З. В. Г. Фесенков—АЖ, т. XXVIII, вып. 2, 1951.

Институт физики и математики  
ИАН Азербайджанской ССР

Поступило 1. VIII. 1952

И. Ф. Султанов

Олберсин һипотетик планетасынын гәлпәләринин  
орбита элементләринин иәзәри пайланмасы

#### ХҮЛАСӘ

Бу мәгаләдә, вахтилә Марс вә Юпитер планетләри арасында күя мөвчүд олмуш планетин парчаланмасындан астероидләрин әмәлә кәлмәссины изаһ әдән Олберс фәрзийәсияния тәнгиди анализи верилир.

ЭНЕРГЕТИКА

А. А. ЭФЕНДИЗАДЕ

**АВТОМАТИЗИРОВАННАЯ СИСТЕМА РЕГУЛИРОВАНИЯ  
СКОРОСТИ АСИНХРОННОГО ДВИГАТЕЛЯ**

(Представлено действ. членом АН Азербайджанской ССР  
М. Ф. Нагиевым)

В ряде отраслей промышленности автоматизированный регулируемый электропривод является основным автоматизирующим звеном производственного процесса. Во многих случаях режим работы электропривода связывается с технологией производства так, чтобы работа электропривода автоматически подчинялась ходу технологического процесса.

Большой народнохозяйственный интерес представляет создание регулируемого асинхронного электропривода с использованием наиболее простой и надежной электрической машины—бесколлекторного асинхронного двигателя с короткозамкнутым ротором.

Сравнение различных схем регулирования скорости двигателей переменного тока показывает, что только система частотного регулирования скорости с коллекторным генератором обладает наиболее универсальной характеристикой в смысле способности системы производить плавное регулирование скорости в широких пределах для любого характера нагрузки на валу.

Автоматизация этой системы регулирования делает ее практическое использование в различных областях народного хозяйства вполне реальной.

**Схема.** Разработанная и исследованная автором схема имеет целью автоматизацию регулирования скорости асинхронного двигателя<sup>1</sup>, работающего на переменной частоте, при которой мощность на валу либо поддерживается постоянной, либо меняется в функции от скорости.

Предлагаемая система автоматически обеспечивает требуемый режим работы электропривода с асинхронным двигателем.

Система автоматического регулирования состоит из трехфазного коллекторного компенсированного генератора, который питает либо непосредственно, либо, в случае необходимости, через трансформатор асинхронный двигатель, скорость которого регулируется.

<sup>1</sup> Принципиально данная схема может быть применена и для регулирования скорости синхронного двигателя.

Схема установки приведена на рис. 1. Обмотка возбуждения коллекторного генератора  $KG$  питается от синхронного генератора  $CB$  (возбудителя  $KG$ ) с собственным возбудителем, сидящим на одном валу с ним. Синхронный возбудитель при-

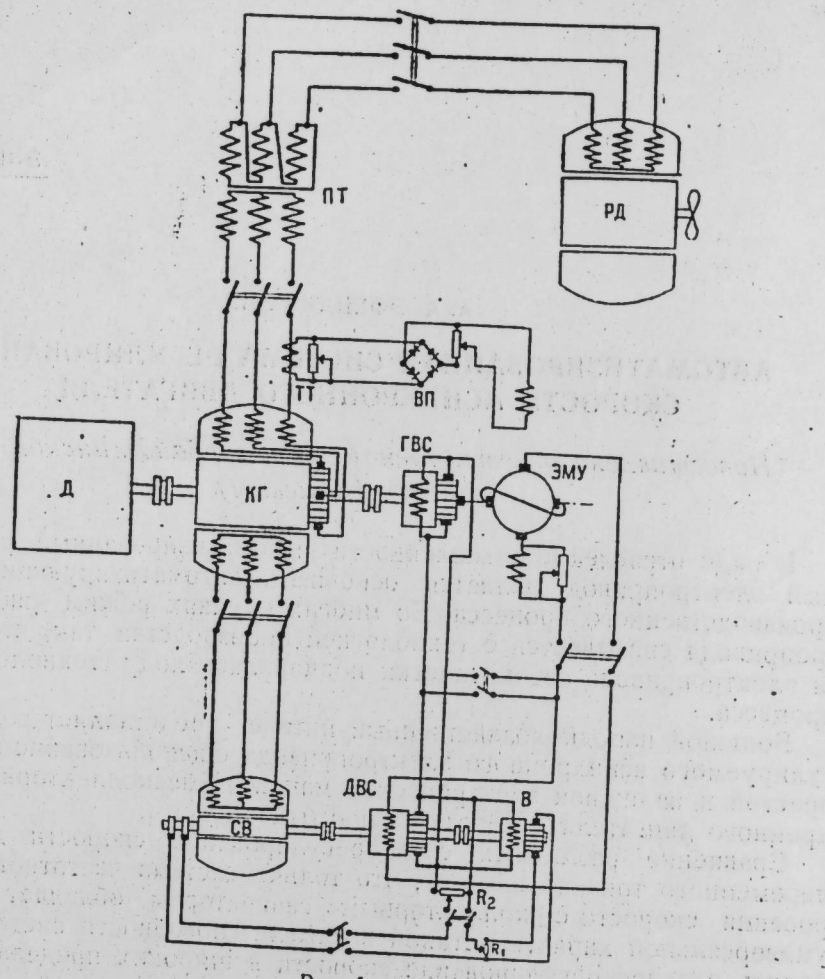


Рис. 1

водится в движение двигателем постоянного тока  $DVC$ , якорь которого включен на неизменное по величине постоянное напряжение и скорость которого автоматически регулируется изменением тока в обмотке возбуждения.

Возбуждение этого двигателя питается от электромашинного усилителя  $EMU$ , управляющая обмотка которого получает питание через выпрямитель от трансформатора тока в главной цепи коллекторного генератора.

При изменении момента на валу двигателя изменяется ток, потребляемый им. Этот ток подается через трансформатор тока  $TT$ , выпрямитель  $VП$  на управляющую обмотку  $УО$  электромашинного усилителя, на зажимах которого напряжение изменяется пропорционально току управляющей обмотки. Обмотка возбуждения двигателя постоянного тока, врачающего синхронный генератор, включается на зажимы электромашинного усилителя; а якорь этого двигателя питается от генератора возбудительной системы, напряжение которого поддерживается неизменным.

Изменение тока возбуждения двигателя обуславливает изменение скорости синхронного генератора и частоты тока возбуждения, а следовательно, и тока главной цепи коллекторного генератора.

В соответствии с изменением момента (или тока) и частоты главной цепи коллекторного генератора, необходимо автоматически изменять и напряжение на зажимах двигателя по закону:  $u = v \sqrt{m_c}$ .

Так, в случае регулирования скорости при  $P = \text{const}$  имеем  $u = v \sqrt{m_c}$ . В этом случае изменение напряжения можно выразить приближенной формулой:

$$u = a + b v. \quad (1)$$

При соответствующем подборе коэффициентов  $a$  и  $b$  (соответственно  $R_1$ ,  $R_2$ ) в диапазоне регулирования скорости, имеющем практическое значение, обеспечивается изменение напряжения пропорционально  $\sqrt{v}$  с достаточной точностью.

Одновременно осуществление такой связи в схеме дает возможность создать более гибкие условия регулирования напряжения и компенсации падения напряжения в элементах схемы.

Изменением сопротивлений  $R_1$  и  $R_2$  можно обеспечить регулирование скорости электропривода при различных законах изменения момента на валу двигателя. Так, например, при  $R_2 = 0$  имеем  $u = v$ , что обеспечивает регулирование скорости при постоянном моменте.

**Исследование устойчивости.** Полная структурная схема системы регулирования имеет два контура, первый из которых является основным контуром структурной схемы, а второй, с одной стороны, осуществляет обратную связь между двумя элементами системы, а с другой—связь с внешним источником постоянного напряжения.

В силу того, что дополнительное воздействие обратной связи на синхронный возбудитель  $CB$  от возбудителя синхронного генератора  $BCG$ , а также со стороны источника постоянного напряжения учтено в уравнении регулируемого двигателя  $PD$  и в связи с незначительными постоянными времени элементов, связанных с указанным воздействием, мы рассматриваем структурную схему как одноконтурную, без учета дополнительной связи контура  $CB - DVC - BCG - CB$ . Таким образом, структурная схема регулирования будет иметь следующий вид (рис. 2).

На схеме электрическая связь изображена одной линией, а механическая—двумя.

Уравнения для звеньев нашей системы автоматического регулирования будут:

$$\left. \begin{array}{l} I \quad -K_1 m_{\text{вых}} = (T_1 p + 1) v \\ II \quad K_2 v = -I \\ III \quad K_3 I = U_1 \\ IV \quad K_4 U_1 = (T_2 p + 1)(T_3 p + 1) U_3 \\ V \quad -K_5 U_3 = (T_4 p + 1) v \\ VI \quad K_6 v = (T_5 p + 1) m_{\text{вых}} \end{array} \right\} \quad (2)$$

Решая систему уравнений (2), получим уравнение системы

$$-m_{\text{вых}} \prod_{i=1}^6 \kappa_i = m_{\text{вых}} \prod_{j=1}^5 (T_j p + 1) \quad (3)$$

Уравнение (3) дает зависимость между координатами входа и выхода разомкнутой системы.

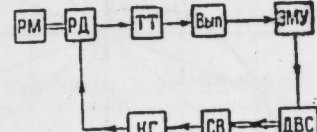


Рис. 2

Приняв равенство входа и выхода, получим уравнение замкнутой системы, которое будет справедливо для любого места разрыва схемы, т. е. его можно применить для разрыва контура структурной схемы между двумя любыми элементами. Соответственно  $T$  можно принимать за выходную координату любого звена системы.

Оператор замкнутой системы в соответствии с уравнением (3) получается в виде операторного полинома

$$\Phi(p) + K = \prod_{i=1}^5 (T_i p + 1) + \prod_{i=1}^6 \kappa_i, \quad (4)$$

где:  $T_i p + 1$  — операторы звеньев системы;

$\kappa_i$  — коэффициенты усиления звеньев.

Для исследуемой нами установки, принимая и соответствующие коэффициенты усиления  $\kappa_i$  и постоянные времени  $T_i$ , можно получить характеристическое уравнение разомкнутой системы в виде более общего семейства уравнений:

$$W\Phi(p) = -K. \quad (5)$$

Найдём область устойчивости многочлена (5) по параметру  $W$ . С этой целью построим  $D$ -разбиение плоскости комплексной переменной  $W$  для всех частот от  $-\infty$  до  $+\infty$ .

Решая уравнение (5) относительно  $W$ , получим:

$$W = -\frac{K}{\Phi(p)} = -\frac{\kappa_1 \cdot \kappa_2 \cdot \dots \cdot \kappa_6}{(T_1 p + 1)(T_2 p + 1) \dots (T_6 p + 1)}.$$

Здесь можно опустить знак минус, при этом устойчивость системы будет обеспечена, если точка  $W = -1$  окажется вне кривой  $D$ -разбиения.

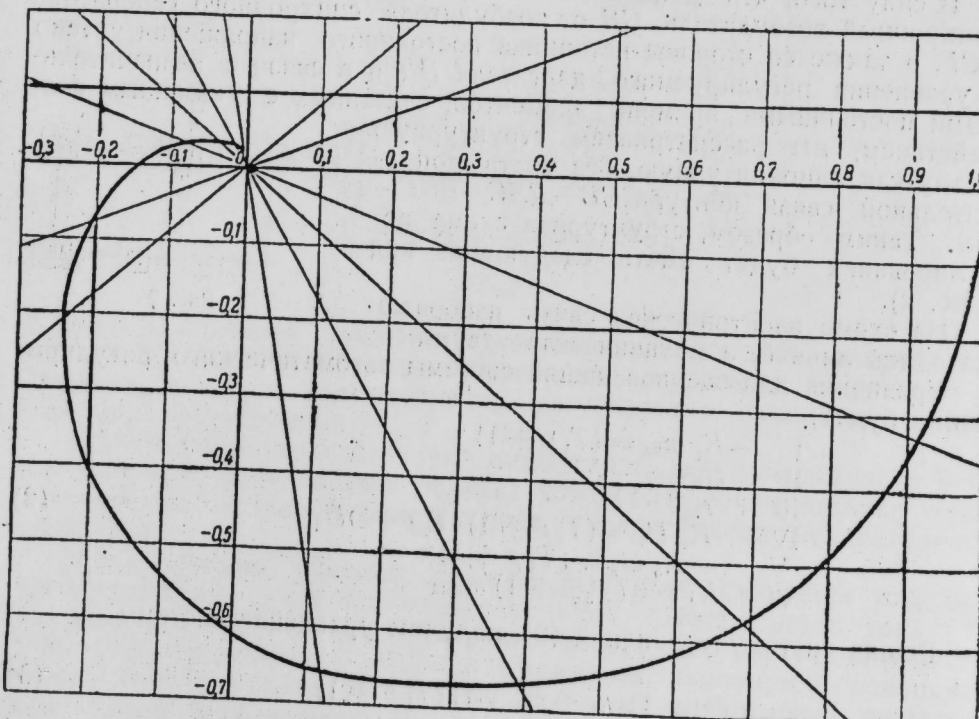


Рис. 3

На рис. 3 изображен годограф системы, построенный по данным годографов отдельных звеньев путем умножения модулей векторов.

всех звеньев и суммирования их аргументов для каждой из рассмотренных частот.

Из рассмотрения годографов векторов отдельных звеньев, а также всей системы, видно, что как вся система, так и отдельные ее звенья устойчивы, так как точки с координатами

$$\begin{aligned} Jm[\varphi(j\omega)] &= 0 \\ Re[\varphi(j\omega)] &< -1. \end{aligned}$$

Как известно, амплитудно-фазовая характеристика в области отрицательных частот физического смысла не имеет, и функция  $\varphi(-j\omega)$  может быть рассмотрена как сопряженное значение  $\varphi(j\omega)$ . Поэтому ограничиваемся рассмотрением тех значений функции, которые соответствуют положительным частотам.

Отдельные параметры системы могут быть изменены, если это будет необходимо для обеспечения устойчивости системы.

Таким параметром может быть любой параметр системы, любой коэффициент или два коэффициента характеристического уравнения системы регулирования.

Рассмотрим возможные пределы изменения коэффициента усиления системы  $K$ .

Построим границу  $D$ -разбиения в комплексной плоскости  $W$ . На рис. 4 приведены кривые  $D$ -разбиения для частот от 0 до 2, так как этот участок определяет область  $D(5,0)$  устойчивости (корни характеристического уравнения расположены влево от минимум оси комплексной плоскости корней) и пределы возможного изменения коэффициента  $K$ , при котором система сохраняет устойчивость, т. е.

$$0 < K < 7,82.$$

В нашем случае коэффициент усиления системы обеспечивает устойчивость системы.

Многочисленные осциллограммы, снятые во время опытов, свидетельствуют также о том, что система и отдельные ее элементы устойчивы.

Лабораторная модель системы автоматизированного асинхронного электропривода была собрана и исследована автором в Электромашинной лаборатории Ленинградского политехнического института им. М. И. Калинина.

Энергетический институт им. И. Г. Есьмана  
АН Азербайджанской ССР

Поступило 3. IX. 1952

А. Э. Эфэндизадэ

## Асинхрон мүнәррикин сүр'этинин автоматик тәнзимәтмә системи ХУЛАСӘ

Гыса гапанимыш роторлу асинхрон мүнәррик халг тәсәррүфатының бүтүн саһәләриндә кениш сурәтдә ишиләдилүр. Буна көрә дә автоматик тәнзим әдилән асинхрон интигальын халг тәсәррүфатында ролу чох бейүкдүр.

Мұхтәлиф тәнзим системләриндән коллектор көнөраторлу вә тезликлә тәнзим әдилән асинхрон интигаль, универсал характеристикая малик олуб, һәр чүр йүк үчүн ярарлыдыр.

Мүэллифин тәклиф этдийи бу автоматлаштырылмыш асинхрон интигальын тәнзим схеми, сабит күч вә я сабит момент шәралитинде сүр'этин кениш даирәдә тәнзим әдилмәсини тә'мин әдир. Автоматлаштырма схеми машинын валы үзәринде әмәлә кәлән моментин гиймәтине кәрә мұвағиғ сүр'этин автоматик олараг алымасыны тә'мин әдир.

Тәнзим системинин структур схеми һәм нәзәри, һәм дә лаборатор модели васитасилә тәчрубәдә тәдгиг әдилмишdir.

Мүэллиф көстәрмишdir ки, автоматик тәнзим системинин характеристик оператор тәнлийи б дәрәчәли полином шәклиндә алышыр.

Мүэллиф, тәклиф этдийи бу схеми М. И. Калинин адына Ленинград Политехник Институтунун электрик машиналары лабораториясында әтрафы тәдгиг этмиш вә چыхардығы нәзәри нәтижеләри лаборатория тәчрубәләри васитасилә йохламышдыр.

ХИМИЧЕСКАЯ КИНЕТИКА

С. С. БАГДАСАРЯН

ЭКСПЕРИМЕНТАЛЬНОЕ ИССЛЕДОВАНИЕ ФИЗИЧЕСКОЙ  
АДСОРБЦИИ ГАЗОВ В ПОТОКЕ

(Представлено действ. членом АН Азербайджанской ССР  
М. Ф. Нагиевым)

В настоящей работе рассматривается экспериментальное исследование физической адсорбции газов транспортируемыми ими твердыми частицами одинаковых и различных размеров в потоке.

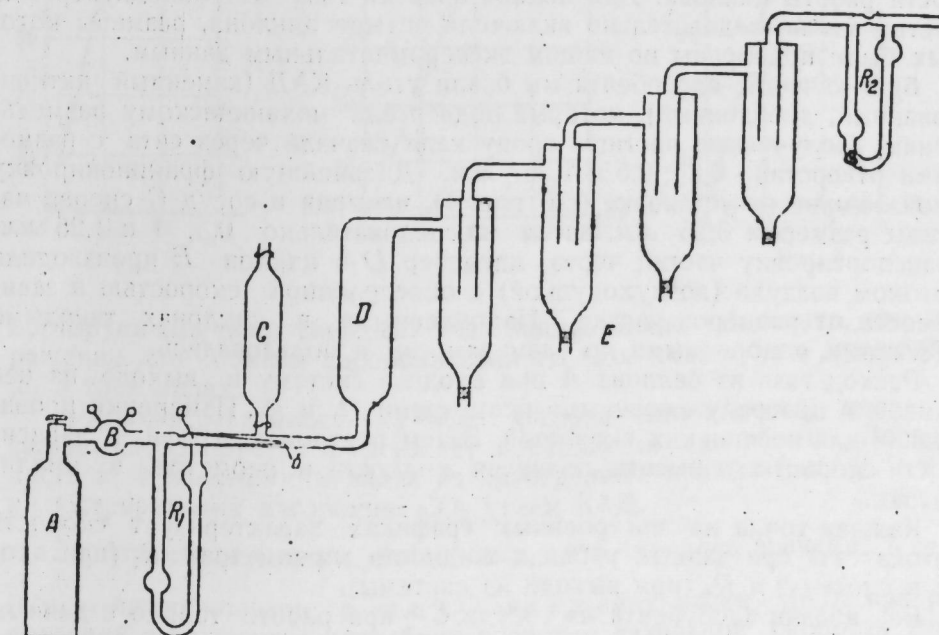


Рис. 1

Схема экспериментальной работы по адсорбции газов твердыми частицами в потоке.  
A—баллон с газом; B—редуктор; C—сосуд с адсорбентом; E—циклоны; R<sub>1</sub> и R<sub>2</sub>—реометры; D—адсорбер

Собранныя нами экспериментальная установка состоит из следующих деталей (рис. 1).

В газовом баллоне  $A$  находится исследуемый газ (или смесь газов) под необходимым давлением, обеспечивающим течение газа.

Газ через реометр  $R_1$  со скоростью  $U_0$  поступает в инжектор, который создает разрежение, в результате чего давление в сосуде  $C$  (в котором находится определенное количество твердых частиц адсорбента) уменьшается. Поток газа при выходе из инжектора увлекает за собой эти частицы и при полном их смешении поступает в адсорбционную трубку  $D$ , где образуются так называемые „кипящие слои“. Очевидно, высота этих слоев зависит от скорости потока газа при входе в аппарат, от плотностей газа и твердых частиц и от количества и размеров последних.

Взвешенные на различных высотах твердые частицы омываются со всех сторон вихревым потоком адсорбируемого газа. Это улучшает контакт адсорбента с адсорбтивом.

Подбором соответствующей начальной скорости потока газа  $U_0$  при входе в систему по реометру  $R_1$  и дозировкой подачи адсорбента из сосуда  $C$  в адсорбер  $D$  можно обеспечить непрерывное течение адсорбированных газом твердых частиц из адсорбера  $D$  в циклон  $E$ , служащий для очистки газа от твердых частиц.

С практической точки зрения вопрос очистки газа от твердых частиц в потоке имеет весьма важное значение.

В наших исследованиях мы применили циклоны небольших размеров, которые были предназначены для двух целей: а) очистки газа от твердых частиц в потоке и б) фракционирования этих частиц.

а) Коэффициент очистки газа от пылевидной массы зависит от минимального диаметра частиц, находящихся в циклоне, и от эффективности работы циклона. Для полной очистки газа от малодисперсных частиц мы последовательно включили четыре циклона, размеры которых были подобраны по нашим экспериментальным данным.

б) В качестве адсорбента мы брали уголь КАД (каменный активированный, дробленный), который подвергали механическому размельчению. Полученные частицы пропускали сначала через сита с размерами отверстий 0,25; 0,5 и 1,25 мм. Дальнейшую фракционировку производили на установке (см. рис. 1), насыпая в сосуд  $C$  сперва частицы размером 0,25 мм, затем последовательно 0,5, 1 и 1,25 мм; транспортировку частиц через адсорбер  $D$  в циклон  $E$  производили потоком воздуха (воздуходувкой) с определенной скоростью в зависимости от размеров частиц. Накопленными в циклонах твердыми частицами, однородными по размерам, мы и пользовались.

Расход газа из баллона  $A$  при входе в систему и выходе из нее измеряли проградуированными реометрами  $R_1$  и  $R_2$ . Измерения производили для нескольких скоростей. Затем построили графики зависимости скорости от высоты поднятия жидкости в реометре в миллиметрах.

Каждая точка на построенных графиках характеризует скорость потока газа при данных уровнях жидкости в реометрах  $R_1$  (при входе в систему) и  $R_2$  (при выходе из системы).

Без подачи адсорбента из сосуда  $C$  при работе только с данным газом мы устанавливали постоянный уровень жидкости в реометрах  $R_1$  и  $R_2$ . В этом случае скорость потока газа при входе в систему  $U_0$  равнялась скорости потока при выходе из нее ( $U$ ), т.е. при стационарном и установившемся течении газа  $U_0=U$ .

С момента подачи твердых частиц из сосуда  $C$  потоком адсорбируемого газа в адсорбер  $D$ , т.е. при адсорбции, скорость потока газа  $U$  при выходе из системы становится меньше скорости потока  $U_0$  при входе. Разность  $\Delta U=U_0-U$  показывает объем адсорбированного

газа в единицу времени. Относительная погрешность установки при измерении  $\frac{\Delta U}{U_0}=1-\frac{U}{U_0}$  зависит от показаний реометров  $R_1$  и  $R_2$ .

Таким образом, экспериментальная задача по изучению адсорбции в потоке сводится к измерению разности скоростей потока газа при входе в систему ( $U_0$ —по показаниям реометра  $R_1$ ) и выходе из нее ( $U$ —по показаниям реометра  $R_2$ ).

Основной экспериментальной трудностью при измерениях было урегулирование постоянства начальной скорости  $U_0$ .

Из анализа наших экспериментальных данных по равновесной физической адсорбции газов транс-

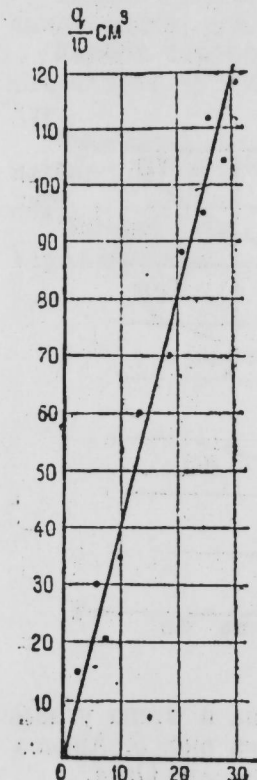


Рис. 2

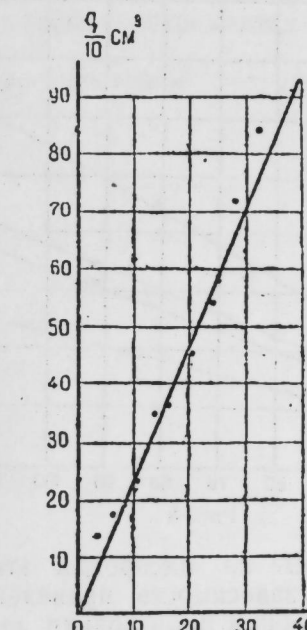


Рис. 3

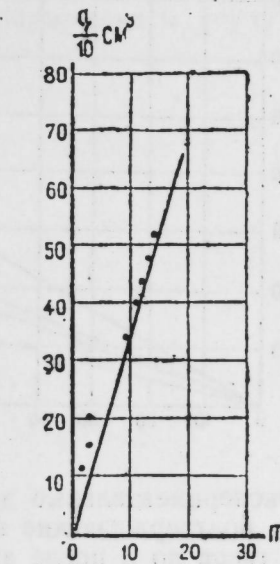


Рис. 4

портируемыми ими твердыми частицами можно заключить, что выражение для объема адсорбированного газа может быть представлено в трех видах:

а) прямая зависимость:  $q=\lambda t$ , которая имеет место, когда газ сильно адсорбируется и насыщает поверхность адсорбента. Правильность этой зависимости видна из приведенных кривых (рис. 2, 3 и 4), иллюстрирующих адсорбцию  $\text{CO}_2$  углем КАД.

Экспериментально мы установили, что среднее значение  $\lambda = \frac{q}{t}$  (объем адсорбированного газа  $\text{CO}_2$  на единицу массы КАД) при равновесной физической адсорбции с ростом начальной скорости потока газа убывает (при  $U_0 = 95, 115$  и  $210 \frac{\text{cm}^3}{\text{сек}}$ ),  $\lambda$  соответственно имеет значение 39, (20–30) и  $18 \frac{\text{cm}^3}{\text{г}}$ .

б) Экспоненциальная зависимость:  $q = q_\infty (1 - e^{-\frac{t}{\tau}})$

или

$$\ln \frac{q}{q_\infty - q} = \frac{u}{v} \tau,$$

где  $q$ —объем адсорбированного газа за время  $\tau$ ;

$q_\infty$ —объем адсорбированного газа при  $\frac{u}{v} \tau = \infty$ ;

$v$ —объем адсорбера в см<sup>3</sup>;

$\tau$ —время работы установки в сек.

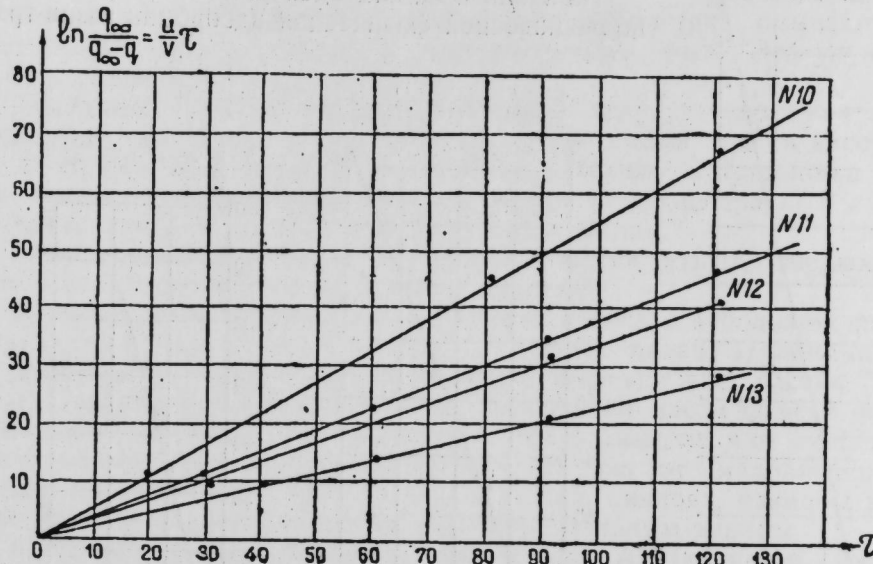


Рис. 5

Экспериментальные данные по адсорбции этилена и этана углем КАД, подтверждающие эту зависимость, приведены на рис. 5. Анализ этих газов до и после адсорбции производили на аппарате Орса.

### Выводы

- На предложенной установке измерена адсорбция углеводородного газа, этилена и этана транспортируемыми ими твердыми частицами (углем КАД).
- Экспериментально установлена возможность равновесной закономерности физической адсорбции в непрерывной системе.
- Предложен метод фракционирования твердых частиц.

Институт нефти  
АН Азербайджанской ССР

Поступило 21. VII. 1952

С. С. Багдасарян

Селдәки газларын физики адсорбсиясының экспериментал тәдгиги

### ХУЛАСӘ

Нәмин мәгаләдә, селдәки газларын бәрк һиссәчикләрлә адсорбсиясы тәдгиг әдилир.

Карбон газларынын, этилин вә этанын өз дашыдыглары бәрк һиссәчикләрлә адсорбсиясы бурада тәгдим әдилән чиһазла өлчүлмүшдүр.

Фасиләсиз системдә физики-адсорбсияның мұвазинәтли вә мұвазинәтсиз ганунауынлуклары экспериментал сурәтдә мүәййән әдилмишдир.

Мәгаләдә бәрк һиссәчикләрин фраксиялашдырылмасы үсулу да верилмишdir.

ГИДРОГЕОЛОГИЯ

А. Г. АСКЕРОВ

ГИДРОГЕОЛОГИЧЕСКИЕ УСЛОВИЯ ФОРМИРОВАНИЯ  
МЕСТОРОЖДЕНИЯ СИРАБСКИХ МИНЕРАЛЬНЫХ ВОД

(Представлено действ. членом АН Азербайджанской ССР  
М.-А. Кашкаем)

Сирабские минеральные источники представляют наиболее ярко выраженный тип углекислых питьевых и лечебных вод Азербайджанской ССР.

Эти воды по своему химическому составу относятся к типу „Боржоми“. Детальное изучение и рациональное использование сирабских минеральных источников для нужд широких масс населения имеют важное значение.

Гидрогеологические особенности района Сирабских минеральных источников определяются его геологическим строением, а также своеобразными метеорологическими условиями Нахичеванского нагорья.

Такие факторы, как литолого-стратиграфический характер пород, географическое положение, различная высота, пересеченность рельефа как в районе Сирабских минеральных источников, так и в окрестностях его, определяют специфику гидрогеологических условий исследуемого района.

Район Сирабских минеральных источников в основном сложен эоценовыми отложениями, представленными мощными пластами мелко-зернистых песчаников, сильно уплотненных и разорванных, в которых развиты многочисленные трещины, ориентированные в различных направлениях. Ноздреватость и наличие бесчисленных трещин придают этим коренным породам особые гидрогеологические свойства.

Долина Шорсу-дара почти лишена как древних, так и современных аллювиальных отложений; лишь изредка встречаются на поверхности обнаженные коренные породы речные валуны.

Только на валах и на пологих склонах имеет развитие почвенный покров (мощностью 1—3 м) делювиального происхождения; последний не всюду маскирует обнаженные коренные породы эоценового возраста.

**ХИМИЧЕСКАЯ ХАРАКТЕРИСТИКА ВОД**

Сирабские минеральные воды насыщены углекислым газом, который является самым активным агентом при формировании их химического состава. Этот газ находится в свободном и растворенном виде и образует с водой единую динамическую систему.

Скважина № 1, заложенная в 1950 г., действует периодически. Это явление интермиттентии также характеризует газовый режим Сирабских минеральных источников, что, несомненно, связано с геологической историей района. Месторождение приурочено к тектоническим поднятиям (в контактовой зоне Сирабской экструзии), в структуре которых принимают участие как карбонатные, так и карбонатизированные породы. Углекислота, выделяющаяся при метаморфизизации карбонатных пород, способствовала насыщению подземных вод.

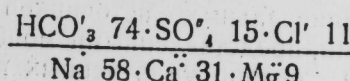
Отобранные нами 29/VIII 1950 г. пробы подвергнуты полному лабораторному анализу (см. таблицу).

Источники	Состав газа в объемных процентах				
	CO <sub>2</sub>	O <sub>2</sub>	H <sub>2</sub> S	CH <sub>4</sub>	N <sub>2</sub>
№ 3	78,7	3,3	0,0	0,0	18,0
№ 5	100	—	—	—	—
№ 6	80,1	3,9	0,0	0,0	16,0

При выходе воды углекислый газ мгновенно выделяется в воздух, в воде же остается лишь то количество газа, которое отвечает условиям растворимости его на поверхности земли. В связи с этим в районе Сирабских минеральных источников отлагались в большом количестве арагониты, травертины и железистая охра.

Переходя к солевому составу сирабских минеральных вод, следует отметить существование тесной связи между солевым составом вод и литологическим составом пород. Солевой состав сирабских минеральных вод преимущественно гидрокарбонатный. Кроме основных компонентов, связанных с гидрокарбонатными ионами, воды этого месторождения содержат и другие разнообразные ингредиенты, несомненно, повышающие их бальнеологические качества.

Ниже помещаем среднюю часть формулы Курлова сирабской минеральной воды (скважина № 1):



Как видно из этой формулы, основными компонентами минеральной воды являются HCO<sub>3</sub>, Na и Ca.

Поэтому, в соответствии с предложенной нами классификацией, мы склонны назвать эту воду (с учетом газового состава) — углекислого-гидрокарбонатно-натриево-кальциевой и отнести ее к первой разновидности, к первому виду, 28 классу, третьему типу вод.

Что касается компонентов SO<sub>4</sub>', Cl' и Mg', то они имеют второстепенное значение среди макрокомпонентов.

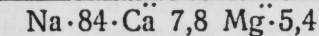
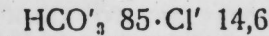
В составе сирабской воды содержатся в незначительном количестве и микрокомпоненты.

Выявление этих элементов важно, так как при установлении бальнеологического качества данной минеральной воды необходимо иметь в виду роль как основных компонентов, так и второстепенных макро- и микронгредиентов.

Следовательно, лечебные качества сирабских вод должны быть определены с учетом суммы сочетающихся в них разнообразных компонентов.

Сирабские минеральные источники по солевому составу стоят близко к известному углекислому источнику „Боржоми“.

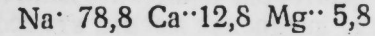
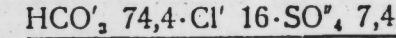
Ниже помещаем среднюю часть формулы Курлова для „Боржоми“



Как видно из формулы, по сравнению с боржомской водой, воды Сирабских источников содержат сравнительно больше кальция, что с бальнеологической точки зрения повышает лечебные свойства ее.

В Закавказье, кроме „Боржоми“, из углекислых вод по солевому составу к сирабской воде наиболее близка минеральная вода „Дилижан“.

Ниже помещаем среднюю часть формулы Курлова для воды „Дилижан“.



Как видно из этой формулы, дилижанская минеральная вода и по ведущим и по второстепенным компонентам аналогична сирабским водам.

Районы упомянутых выше минеральных вод относятся к типично-складчатым областям.

Минеральные воды в долинах р. р. Боржоми и Гуджиртисцхали, в долине Шорсу-дара („Сираб“) и в долине Болданчай („Дилижан“) приурочены одинаково к нижнетретичным отложениям. Такое положение лишний раз требует обратить внимание на новейший взгляд советских гидрогеологов, что химический состав природных вод отражает геологическую историю района.

Таким образом, с целью правильного понимания условий формирования упомянутых вод необходимо детально исследовать и сопоставить между собою геологическое строение районов этих месторождений.

#### ФОРМИРОВАНИЕ ХИМИЧЕСКОГО СОСТАВА СИРАБСКИХ МИНЕРАЛЬНЫХ ВОД

Из изложенного ясно, что сирабские минеральные воды представляют собой динамическое месторождение, приуроченное к району со специфическим геологическим строением.

Углекислота в составе воды в основном метаморфического происхождения. Повидимому, во время процессов растворения магмой прилежащих известняков произошел метаморфизм, изменился состав карбонатно-осадочных отложений эоценового возраста и при воздействии высокой температуры из пород выделилось огромное количество углекислого газа (CO<sub>2</sub>).

Таким образом, начало формирования сирабского месторождения следует связать с внедрением магмы. Магматическая деятельность создала в районе источников особые геотермические условия, вследствие чего из горных пород выделяется углекислый газ, который способствовал образованию углекислых минеральных вод Нах. АССР и, в частности, — сирабских, нагаджирских, вайхирских и др.

Кроме того, следует иметь в виду, что в зону месторождения сирабских минеральных вод беспрерывно проникают атмосферные осадки, содержащие в растворенном виде тропосферную углекислоту.

Поэтому ясно, что при разрешении задач, касающихся генезиса месторождения сирабских минеральных вод, необходимо учесть роль суммы факторов, имевших влияние на формирование данного типа воды за истекший геологический период.

Для формирования первоначального химического состава изучаемого нами месторождения требовалось, с одной стороны, развитие карбонатных пород и, с другой,—наличие извержения магмы, что создавало сложную физико-химическую обстановку, характеризующую гидрогеологические условия района.

Атмосферные воды, содержащие в большом количестве углекислоту, свободно проникают в водопроницаемые карбонатные и карбонатизированные горные породы и при этом на небольшой глубине от поверхности земли формируют слабоминерализованные первичные гидрокарбонатные воды.

Подводя итог всему изложенному выше, мы считаем, что в процессе формирования химического состава сирабских минеральных вод сыграл роль комплекс факторов, а именно: наличие карбонатных свит, тектонические процессы, внедрение магмы, атмосферные осадки и связанная с ними фильтрация. Вследствие этих существенных генетических агентов на этом участке имели место процессы просачивания, выщелачивания, растворения, метаморфизации, газификации и обмена катионов, благоприятствующие формированию современного химического состава сирабских минеральных вод.

Как видно из анализов, в водах различных выходов содержание углекислоты увеличивается по мере приближения к Сирабской экструзии.

Воды этой зоны, благодаря богатому содержанию углекислоты, сильнее действуют не только на карбонатные, но и на силикатные породы.

Таким образом, первичная природная вода при воздействии углекислоты превращается в сильно минерализованную, метаморфизированную воду. Очевидно, в этой зоне поглощенная углекислота дает ионы  $\text{CO}_3^{2-}$  и  $\text{HCO}_3^-$ . Последние, в соединении с натрием, образуют содовые компоненты.

В заключение можно прийти к следующим выводам:

1. Месторождение сирабских минеральных вод приурочено к линии крупных тектонических разрывов и относится к трещинным.

2. Месторождение вод расположено в краевой части Сирабской экструзии.

3. По характеру минеральная вода является напорной и восходящей.

4. Движение потока минеральной воды внутри горных пород исключительно трещинное.

5. Солевой состав минеральных вод формируется вследствие химической деятельности углекислоты.

6. Воды эти следует рассматривать как газо-водяной раствор, сформировавшийся за геологическое время в результате активного действия термодинамических агентов в специфической гидрогеологической обстановке.

Э. Н. Эскеров

## Сираб минерал су ятағынын әмәлә қәлмәсінин һидрокеология шәранти

### ХУЛАСӘ

Сираб минерал су булаглары республикамызының ән нұмуниәви карбон газлы ичмәли, мұаличә суларындан сайлыры. Бу сулар өз кимәлі тәркибләринә көрә боржом типли минерал сулара айдады.

Сираб минерал сулары районунун һидрокеология хүсусийтәти, әсас әтибарила буранын қеология гурулушу илә, әләчә дә Нахчыван дағынын хүсуси метеорология шәранти илә мүәййәнләшдирилір.

Бу минерал суларын кимәлі тәркибләрінин әмәлә қәлмәсіндеги карбон газының мүһүм ролу вардыр. Һәмнін газ сәрбаст һәлл олмуш налда су илә вайиңд динамики систем тәшкил әдір.

1950-чи илдә ғоюлмуш олан 1 №-ли буруг гуюсу фәвварә илә периодик олараг су верир. Су, ер үзәринә чыхдығда ондан дәрһал карбон газы айрылып һавая яйылыр вә бунуна әлагәдар олараг Сираб сулары районуда күлли мигдарда арагонитләрә, травертинләрә вә дәмирилі торпага раст кәлмәк олур.

Апардығымыз тәддигат нәтижәсіндә айдын әдилшишdir ки, Сираб минерал су ятағы динамики ятаглардан олмагла, спесифик қеология гурулуша малик районла әлагәдардыр. Суларын тәркибиңдә олан карбон газы әсасен метаморфик мәншәдәндір. Бурадан айдын олур ки, магма пұскүрдүү заман бу районда интишар этмиш әһәнкдашылар метаморфизм еуграмыш, беләликлә кимәлі тәркибләрни дәйишиши вә йүксәк температурун тә'сириң мә'рүз галан карбонатлы сұхурлардан карбон газы айрылышынан.

Сираб сулары ятағынын әмәлә қәлмәсі магманың пұскүрмәсі илә белә әлагәләндірілмәлідір. Магма пұскүрмә һадисәләри һәмнін бу районда хүсуси қеотермик шәрант әмәлә кәтирмиш вә бунуна әлагәдар ер габығыны тәшкил әдән карбонатлы сұхурлардан карбон газы айрылышы, бу да үмумийтә Нахчыван әразисіндеги карбон газлы минерал суларын вә хүсусән Сираб, Ниачир, Вайхыр вә башга бу кими минерал су булагларынын әмәлә қәлмәсінә сәбәб олмушадур.

Бундан башга нәзәрдә тутулмалыдыр ки, Сираб минерал су ятағы золағына арасы қәсілмәдән яғыш сулары сыйылыр. Бу суларда да һәлл олмуш налда тропосфер мәншәли карбон газы вардыр. Гейдәтдикләримиздән айдын олур ки, Сираб минерал су ятагларынын мәншәи илә әлагәдар олан мәсәләләрин һәллиндә бу тип суларын әмәлә қәлмәсінә тә'сир әдән мұхтәлиф факторларын вә тарихи қеология периодларын ролу нәзәрдә тутулмалыдыр.

Беләликлә, өзүндә күлли мигдарда карбон газы сахлаян атмосфер сулары сүкечирән карбонатлы вә карбонатлашмыш сұхурлардан сәрбаст сыйыларын, ер сәтінніңдән чох дәрін олмаян гатларда зәйіф минераллашмыш илк һидрокарбонатлы сулар әмәлә кәтирир. Бу илк мәншәли тәбии сулар карбон газының тә'сири илә қәсқин минераллашмыш вә метаморфизм еуграмыш сулара чөврилир. Зәнні әдилир ки, удуулма зонасында карбон газы  $\text{CO}_2$  вә  $\text{HCO}_3^-$  ионларыны әмәлә қәтирир, бунлар да  $\text{Na}$  элементи илә бирлешерәк, сода компонентиниң төрәдір.

**ГИДРОГЕОЛОГИЯ**

И. Я. ДАВЫДОВ

**О МЕТОДИКЕ ИЗУЧЕНИЯ РЕЖИМА ХИМИЗМА  
ПОВЕРХНОСТНЫХ ВОДОТОКОВ В СВЯЗИ С ИЗУЧЕНИЕМ  
РЕЖИМА ХИМИЗМА НАДЗЕМНЫХ ВОД**

(Представлено действ. членом АН Азербайджанской ССР  
*М.-А. Кацкаем*)

В солевом балансе подземных и особенно грунтовых вод роль поверхностных вод очень велика. Часто направленность процессов метаморфизации подземных вод целиком обуславливается влиянием поверхностных вод и климатических факторов. Изучению же режима химизма поверхностных водотоков часто уделяется или мало внимания, или эта работа проводится по неполноценной методике.

Чаще всего определение химизма поверхностных водотоков производится при выходе их из предгорий или при входе их в изучаемый район, а сроки отбора проб приурочиваются к периодам максимума и минимума стояния уровня грунтовых вод и совершенно не увязываются с режимом расходов рек.

Нужно иметь в виду, что поверхностные водотоки, по сравнению с подземными, имеют более динамичный режим. В зависимости от геологического строения и гидрогеологических условий химизм речной воды может изменяться в течение нескольких часов, не говоря уже о сезонных колебаниях. Особенно резкие колебания наблюдаются в реках, имеющих небольшую площадь бассейна, малое протяжение водотока, бассейн с большим разнообразием геологического строения, а также при условии смешанного их питания с преобладанием атмосферных осадков. Такое сочетание условий наблюдается для большинства мелких горных рек юга Союза.

Рассмотрим схему режима химизма горной реки от ее истоков до устья. Началом такой реки обычно служит ледник, снежник, источник или группа источников. Последние часто являются временными (типа источников осыпей). По мере продвижения в горной части бассейна река пополняется притоками, имеющими такие же источники питания. Химизм воды здесь целиком зависит от химизма поступающих вод.

В том случае, когда в балансе реки приходной частью, в основном, служат воды от таяния ледников или постоянно действующих

родников, режим минерализации воды более постоянен, и степень минерализации изменяется в небольших пределах. Если же основным элементом в балансе реки являются атмосферные осадки, химизм воды бывает подвержен большим колебаниям и зависит от литологии пород склонов и места образования стока (района таяния снежного покрова или района выпадения дождя). Так, например, если таяние снега или выпадение дождя происходит в районе развития соленосных отложений, то вода реки будет иметь повышенную минерализацию, с преобладанием в составе легко растворимых солей, содержащихся в породах. Если же район образования поверхностного стока сложен изверженными, трудно растворимыми породами, то, совершенно естественно, степень минерализации воды будет невысокая. В такой же зависимости находится и мутность воды.

Таким образом, воды рек при выходе из предгорий имеют уже определенную степень минерализации со сформировавшимися солевым составом. К этому же участку рек приурочено и резкое изменение режима их расхода. При выходе из предгорий, когда реки попадают в область развития своих же конусов выноса, как правило, сложенных рыхлообломочными и хорошо фильтрующими материалами, пополнения расхода почти не наблюдается. Потери воды здесь резко возрастают вследствие использования ее на орошение, инфильтрации в отложения конуса выноса и испарения. И очень часто, в период межених расходов, реки не доносят воду до устья, целиком расходуясь на инфильтрацию и испарение. Иногда наблюдается разрыв водотока. Образование разрыва происходит при следующих обстоятельствах. В пределах конуса выноса река полностью разбирается каналами и инфильтруется в русловые отложения — русло пересыхает. Ниже конуса выноса, в зоне выклинивания грунтовых вод, за счет родников и мочажин вновь образуется поток, который в большей части случаев достигает устья реки. Вывод его на равнину бывает затруднен значительной глубиной вреза речных долин. Воды этих потоков обычно бывают повышенной минерализации.

При этих условиях минерализация воды изменяется, как правило, в следующем порядке. От места выхода реки из предгорий до начала дренирования грунтовых вод степень минерализации возрастает медленно, и солевой состав почти не претерпевает изменений. Вниз по течению реки, ниже точки начала дренирования ее грунтовых вод, общая минерализация быстро возрастает. Часто резко изменяется и солевой состав в сторону увеличения удельного значения ингредиентов, входящих в состав более легко растворимых солей. Возрастание степени минерализации и изменение солевого состава будут тем значительнее, чем больше будет приток грунтовых вод и чем выше их минерализация.

Таким образом, для учета количества солей, поступающих с поверхностью водами в изучаемый район, необходимо учитывать:

1) количество воды, поступающей в пределы района исследований, степень и характер ее минерализации в периоды характерных расходов;

2) количество воды и ее химизм в точке начала выклинивания грунтовых вод;

3) количество воды и ее химизм в устье реки или в точке выхода реки из пределов изучаемого района.

Характерными периодами, в которые следует производить определение химизма, являются период снеготаяния в предгорьях, период снеготаяния в горной части бассейна, период дождей в горной части района, дающих выраженные паводки, и период межених расходов.

Таким образом, количество наблюдательных пунктов и их местоположение определяются характером реки, местом начала забора воды из реки, зоной выклинивания грунтовых вод и местом выхода реки из изучаемого района. Сроки наблюдений определяются режимом реки и условиями ее питания.

При расчетах солевого баланса подсчет количества солей, поступивших в изучаемый район с водой реки, может быть произведен по формуле:

$$w = (w_1 - w_2) - (w_3 - w_4),$$

где:  $w$  — вес солей (в  $t$ ), поступивших в изучаемый район с водой реки;

$w_1$  — вес солей (в  $t$ ), вынесенных водой на створе реки при входе ее в изучаемый район;

$w_2$  — то же на створе начала выклинивания грунтовых вод;

$w_3$  — то же в устье реки или на выходе ее из изучаемого района.

Количество солей, проходящих через створ в рассматриваемой точке реки ( $w_1, w_2$  и  $w_3$ ), может быть определено по формуле:

$$w_1 = aQt + a_1Q_1t_1 + a_2Q_2t_2 \dots a_nQ_nt_n,$$

где  $a$  — содержание солей в одном кубометре воды (в  $t$ );

$Q$  — средний расход реки в  $m^3/\text{сут}$  за расчетный период;

$t$  — время в сутках за расчетный период.

Положительное значение  $w$  будет обозначать процесс накопления солей в изучаемом районе за счет влияния вод поверхностных водотоков. При отрицательном значении  $w$ , наоборот, поверхностные воды выносят соли из изучаемого района. Величина ( $w_1 - w_2$ ) показывает количество солей, идущих на засоление грунтов и поступающих в грунтовые воды из поверхностного водотока.

Величина ( $w_3 - w_4$ ) показывает количество солей, выносимых из района исследований грунтовыми водами в поверхностный водоток. Суммарный подсчет для всех рек, пересекающих исследуемый район, даст исходный материал для оценки количества солей, выносимых в район речными водами и для анализа режима химизма грунтовых вод.

Этим же методом расчета можно определить величину приноса или выноса любого ингредиента солевого состава. Для этого в расчетной формуле буквами  $w, w_1, w_2$  и  $w_3$  обозначается не вес солей, а содержание рассматриваемого ингредиента солевого состава.

Институт геологии им. И. М. Губкина  
АН Азербайджанской ССР

Поступило 25. X. 1952

И. Я. Давыдов

Ералты суларын кимйэвиллик режимини өйрәнмәклә  
элагәдар олараг, ерүстү суларын ахмасы режиминин  
өйрәнилмәси методикасы һагында

### ХУЛАСӘ

Ерүстү суларын өйрәнилән массиве дуз кәтирән бир мәнбә кими тәсир фактору грунт суларынын су-дуз балансында бейіүк әһәмийтә маликдир. Дикәр тәрәфдән, гидравлик шәбәкә чох заман грунт суларыны дрениләшdirәрәк, сулары вә онларла бәрабәр дузлары да өйрәнилән массивин сәрһәдди харичинә чыхарыр. Бу һал гыса гидравлик

шабекэли дағаттейи дүзэнликләриндә вә гуру иглим шәрәитиндә хүсүсила кәскин сурәтдә мүшәнидә олунур.

Бу факторлары дүзкүн несаба алмаг үчүн мүәллиф, чайын ашағыда көстәрилән нәгтәләриндә мүшәнидә мәнтәгәләри гоймасы тәклиф әдир:

- а) чайын ейрәнилән массивә дахил олдуғу ердә;
- б) чай грунт суларыны дренләмәйә башладығы нәгтәдә;
- в) чайын ағзында вә я чайын ейрәнилән массивдән чыхдығы ердә.

Мүшәнидәнин вахты, чайын сәрфи режимидән асылы олараг тә'йин эдилир вә бу заман, чайын һөвзәсинин кеоложи гурулушундан вә гидаланма шәрәитидән асылы олараг, кимйәвилик режими нәзәрә алыныр.

Мәгаләдә, ер үстүндән ахан суларын, грунт суларынын дуз балаңсана тә'сирини несабламаг үсулу көстәрилир.

АЗӘРБАЙЧАН ССР ЭЛМЛӘР АКАДЕМИЯСЫНЫН МӘРУЗАЛӘРИ  
ДОКЛАДЫ АКАДЕМИИ НАУК АЗЕРБАЙДЖАНСКОЙ ССР  
ТОМ IX

№ 1

1963

ПЕТРОГРАФИЯ

Д. М. СУЛЕЙМАНОВ и Н. В. ПАШАЛЫ

ГЕОЛОГО-ПЕТРОГРАФИЧЕСКИЙ ОЧЕРК ГРЯЗЕВОГО  
ВУЛКАНА ОТМАНБОЗДАГ

(Представлено действ. членом АН Азербайджанской ССР  
М.-А. Кашикаем)

Грязевои вулкан Отманбоздаг высотой 394 м находится около ст. Сангачал Азербайджанской железной дороги и относится к числу наиболее крупных вулканов Азербайджана [1, 2].

Вулкан окружён с трех сторон возвышенностями, исключая южную, которая прикрыта сверху отложениями брекчии и современными образованиями.

К центральной части возвышности, расположенной в широкой синклинальной складке и сложенной известняками среднего отдела ашшеронского яруса, приурочен кратер вулкана, который имеет вид большой впадины, диаметром более 300 м. Края кратера ограничены валом, имеющим высоту до 5–6 м. Огромное опочечное поле, площадью около 10 км<sup>2</sup>, по внешнему виду представляет собой сильно взрыхленную поверхность со множеством сопок конусообразной формы, достигающих местами высоты 2 м. Отмеченные сопки приурочены к трещинам широтного направления. В обнажениях можно наблюдать чередование слоев, различных по характеру и цвету, сопочной брекчии, свидетельствующих о разновременном возрасте извержений. Последнее извержение грязевого вулкана Отманбоздаг произошло в 1951 г. Продукты выброса, в виде сопочной брекчии, заняли площадь около 0,07 км<sup>2</sup>. Сопочная брекчия представлена глинами серого и зеленовато-серого цвета с включением обломков пород различных по возрасту и составу. Следует отметить, что в последних признаки битуминозности не обнаружены.

В свежем сопочном поле можно наблюдать несколько групп сопок, приуроченных, главным образом, к центральной части площади. Для большинства указанных сопок характерно интенсивное выделение углеводородных газов и жидкой сопочной грязи. Каналы, по которым происходит выделение газа и грязи, довольно узкого сечения, что является причиной частой закупорки отверстий.

Кроме сопок на обследованной площади наблюдаются отдельные воронки, наполненные сопочной грязью. Жидкая грязь переливается

чёрез края, или же образует маленькие желобки. Газ выделяется периодически, через промежутки 1—1,5, а иногда 7—8 минут. Все сопочное поле разбито сетью медких трещин шириной в несколько сантиметров; господствующим направлением трещин является широтное. Иногда наблюдаются отдушины, из которых с шумом выделяется газ. В центральной части поля, на площади примерно 15—20 м, разбросаны ошлакованные глины кирпично-красного цвета, свидетельствующие о процессе горения. В краевых зонах сопочного поля наблюдаются смещения последнего относительно покровов сопочной брекции древних извержений. В южной части поля это смещение достигает 1—2 м. Мощность сопочного покрова в краевых зонах равна 0,5—1 м и в центральной перевышает 4—5 м.

Характерные образцы пород, выброшенные в процессе последнего извержения, были отобраны и исследованы с точки зрения их петрографического состава, а также пористости и проницаемости.

Из слабосцепментированных пород поля определены глинистые алевролиты, алевритовые глины и песчанистые хлидолиты, гранулометрический состав и карбонатность которых приведены в таблице 1.

Таблица 1

№ образца	Карбонатность в %	Содержание фракций в %				Породы
		< 0,25	0,25—0,1	0,1—0,01	0,01	
2	17,6	17,6	11,1	55,2	33,5	Глинистый алевролит
17	14,2	0,1	11,5	28,2	60	Алевритовая глина
4	17,2	0,4	46,9	25,3	30,5	Песчанистый хлидолит
15	18,0	2,6	49,1	21,8	26,5	"

Глинистые алевролиты—тонкозернистые серые породы с песчанистым изломом; количество глинистых частиц в них—33,5%. Алевритовые глины (сопочный ил) бесструктурные, серые. Песчанистые хлидолиты—мелкозернистые, сланцеватые, серого цвета; количество песчаного материала в них варьирует от 47,3 до 51,7%. Сланцеватые бурье разности песчанистых хлидолитов аналогичны сланцам диатомовой свиты.

Как видно из таблицы 2, преобладающим минералом во всех случаях является пирит; в значительном количестве присутствуют слюда, биотит, устойчивые минералы. В глинистых алевролитах отмечены более 1% обыкновенная роговая обманка и пироксены, которые в других породах присутствуют в единичных количествах.

В легкой фракции преобладают кварц и измененные минералы.

Из плотносцепментированных пород исследовались кварцевые и глауконито-кварцевые песчаники, известковистые полевошпатово-кварцевые песчаники, пелитоморфные доломиты и органогенно-детритусовые известняки.

Кварцевые песчаники по характеру цемента делятся на известковистые и серицито-кремнистые разности. Внешне это мелкозернистые толсто- и тонкослоистые породы серого цвета с зеленоватым оттенком. Структура их гетерокластическая. Состав: кварц, плагиоклаз, хлорит, биотит, глауконит, пикрит, гранат, рутил, пирит, лимонит, обломки глинистых пород.

Кварц—преобладающий минерал. Он угловатый, редко полуугловатый. По периферии иногда корродирован цементирующей массой.

Плагиоклаз в количественном отношении значительно подчинен

кварцу. По углу угасания в симметричной зоне ( $11^{\circ}$ ) соответствует олигоклаз-андезину № 29. Некоторые зерна его катаклизированы и в этом случае характеризуются волнистым угасанием. Замещен в изве-

Таблица 2

№ образца	Компоненты			
	2	17	4	15
<b>Тяжелая фракция</b>				
Роговая обманка обыкновенная	1,1	ед. зи.		
Пироксены	1,5	ед. зи.		
Слюдя	15,0	8,4	14,2	ед. зи.
Биотит	2,0	1,3	1,8	
Хлорит	1,5	0,2	3,0	0,5
Глауконит	0,4	0,1	0,8	0,5
Дистен	—	—	ед. зи.	
Пикрит	0,2	0,2	0,3	ед. зи.
Эпидот	5,2	0,1	—	1,0
Анатит	0,1	—	—	—
Сфеи	0,2	0,2	1,5	ед. зи.
Гранат	1,5	0,2	—	ед. зи.
Рутил	0,1	0,1	—	—
Турмалин	2,1	0,5	3,0	0,5
Другие устойчивые минералы	1,5	1,2	4,5	0,5
Магнетит-ильменит	10,0	4,7	11,5	3,0
Пирит	40,4	64,7	58,0	93,0
Лимонит	17,1	17,8	1,1	1,0
<b>Легкая фракция</b>				
Кварц	50	40	20	75
Полевые шпаты	25	10	40	10
Измененные минералы	25	50	40	15

стковистых разностях кальцитом, а в серицито-кремнистых—серицитом. Хлорит, а особенно биотит и глауконит, встречаются редко. Пикрит, гранат и рутил представлены редкими кристалликами.

Пирит в виде мелких скоплений приурочен к кальцитовым участкам. Магнетит присутствует реже пирита. Лимонит образуется за счет пирита. Обломки глинистых пород угловатые.

Цемент известковистый и серицито-кремнистый. В первом случае тип цементации смешанный (базальный и разъединяющий), во втором—контактовый. Серицито-кремнистый материал, видимо, образовался за счет глинистого вещества в процессе диагенеза.

Минералогический состав описанных пород (в %) приведен в таблице 2.

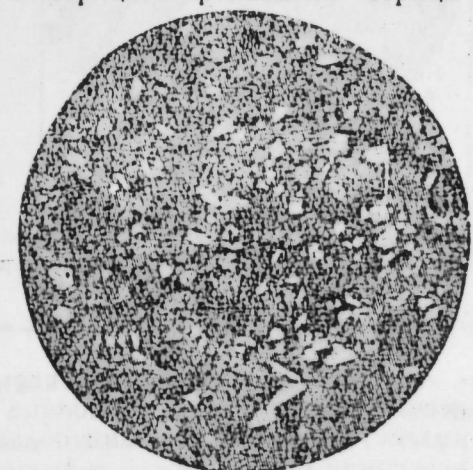


Рис. 1

Таблица 4

Глауконито-кварцевые песчаники, как и предыдущие, по характеру цемента делятся на известковистые и сернито-кремнистые. Это тонкозернистые породы серого цвета, иногда с зеленоватым оттенком. Структура их гомеокластическая. По сравнению с кварцевыми песчаниками они отличаются присутствием в значительном количестве глауконита, наличием мелких кристалликов ангидрита и турмалина; чаще встречается пирит. Глауконит довольно равномерно распределен в породе и представлен округлой и неправильной формы зернами ярко-зеленого цвета.

Другие минералы—кварц, плагиоклаз (олигоклаз-андезин № 30), биотит, гранат, пирит, а также обломки глинистых пород имеют ту же форму нахождения, что и в описанных выше песчаниках. Это же следует сказать о характере и типе цементации.

Известковистые полевошпатово-кварцевые песчаники—мелкозернистые зеленовато-серые породы, иногда с ясно выраженной косой слоистостью. Структура их гетерокластическая. Состоят они из кварца, плагиоклаза, ортоклаза, роговой обманки, биотита, хлорита, эпидота, глауконита, турмалина, граната, пирита, магнетита, лимонита, вулканического стекла, обломков кремнистых и эфузивных пород.

Количественно-минералогический состав (в %) описанных песчаников приведен в таблице 3.

Таблица 3

Породы	Кварцевые песчаники	Глауконито- кварцевые песчаники	Известкови- стые полево- шпатово-квар- цевые песча- ники
Компоненты			
Кварц . . . . .	60	53	38
Плагиоклаз . . . . .	3,5	2,5	11,5
Ортоклаз . . . . .	—	—	0,5
Роговая обманка . . . . .	—	—	ед. зн.
Биотит . . . . .	0,5	1,0	0,3
Хлорит . . . . .	1,5	1	0,2
Эпидот . . . . .	—	—	ед. зн.
Глауконит . . . . .	0,5	6,5	0,1
Гранат . . . . .	ед. зн.	ед. зн.	ед. зн.
Турмалин . . . . .	—	—	ед. зн.
Рутил . . . . .	—	—	ед. зн.
Пикотит . . . . .	ед. зн.	—	ед. зн.
Магнетит . . . . .	ед. зн.	—	ед. зн.
Пирит . . . . .	0,5	0,1	0,1
Лимонит . . . . .	4	2,5	12
Вулканическое стекло . . . . .	1	0,5	1,4
Обломки глинистых пород . . . . .	2,5	2,0	1,0
Обломки кремнистых пород . . . . .	—	—	1,5
Обломки эфузивных пород . . . . .	—	—	5
Цемент . . . . .	26	31	0,5
			27,9

Результаты исследования пористости и проницаемости некоторых песчаников приведены в таблице 4<sup>1</sup>. Из нее следует, что наилучшими коллекционными свойствами обладают известковистые полевошпатово-кварцевые песчаники.

<sup>1</sup> Исследования производились в лаборатории НИНГРИ Объединения Азнефтегазведка.

№ образца	П о р о д ы	Пористость по Преобра- женскому	Проницаемость в миллидарси
14	Сернито-кремнистый кварцевый песчаник . . . . .	4,47	непроницаемый
20	Известковистый кварцевый песчаник . . . . .	14,47	10,38
19	Известковистые полевошпатово-кварцевые песчаники . . . . .	18,93	12,27
18	Сернито-кремнистый глауконито-кварцевый песчаник . . . . .	13,91	непроницаемый

Пелитоморфные доломиты в виде обломков очень часто встречаются в массе сопочного ила. Это плотные, иногда сланцеватые породы от серовато-желтого до темносерого цвета; в случае ожелезнения принимают буроватый оттенок. Структура криптозернистая, в некоторых случаях псевдоолитовая (рис. 2). Представлены они мелкодисперсным агрегатом доломита, равномерно пропитанного пелитовым материалом. В случае наличия мелких пустот, выполненных хальцедоном или кальцитом, порода принимает псевдоолитовое строение. Из акцессорной

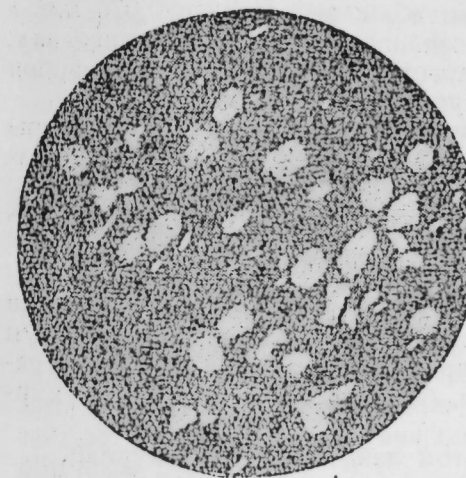


Рис. 2

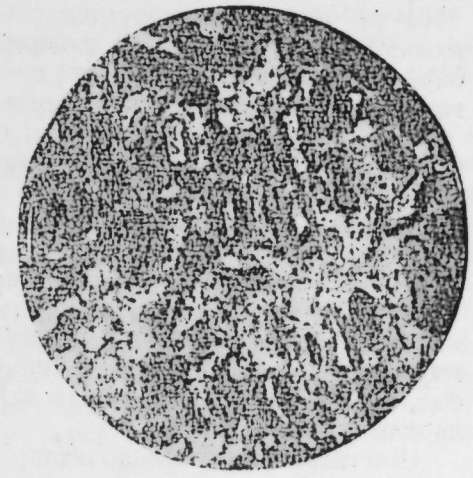


Рис. 3

примеси присутствует редкий угловатый кварц, чешуйки биотита и хлорита. Из рудных минералов отмечен сингенетический пирит, нередко переходящий в лимонит.

Описанные доломиты аналогичны таковым диатомовых отложений юго-восточного Кобыстана.

Органогенно-детритусовые известняки—мелкозернистые белесоватые породы, в местах ожелезнения с буроватым оттенком. Структура их органогенная, участками оолитовая (рис. 3).

Представлены они множеством целой и битой ракушки, скементированной кальцитовым цементом. В массе последнего отмечается большое количество оолитов удлиненной и округлой формы. Центром кристаллизации этих оолитов являются кристаллики кальцита, обломки или целые раковинки *Ostracoda*.

По возрасту эти известия относятся к апшеронскому ярусу.

Таким образом, наиболее древними образованиями, встречающимися в продуктах выброса последнего извержения описанного вулкана, являются породы диатомовой свиты.

#### ЛИТЕРАТУРА

1. С. А. Ковалевский—Извержение грязевого вулкана Отман-Боздаг. Азерб. нефт. хоз. № 2, серия 35, 1922. 2. Э. Э. Якубов—Азэрбайчаныны палтыг вулканлары. Азэрб. ССР Эмлэр Академиясы наешрийтасы. Бакы, 1948.

Институт геологии им. акад. И. М. Губкина  
АН Азербайджанской ССР

Поступило 27. X. 1952

Д. М. Сүлейманов вэ Н. В. Пашалы

### Отманбоздағ вулканының қеоложи вә петрографик ұласасы ХҮЛАСӘ

Отманбоздағ лейімә вулканы Азэрбайчаның бейіүк вулканларындан бири олуб, Гобистаның чәнуб-шәргинде, Азэрбайчан дәмір йолунун Сангачал станциясы яхыныңында ерләшшишdir.

Диаметри 300 м-дән артық олар вулкан кратери, орта Абшерон чекүнтуләриндән ибарат, синклинал гырышыглы тәпәния мәркәз һиссәсіндә ерләшшишdir. Сопканың саһәси 10 км<sup>2</sup> олуб, 2 м-ә гәдәр һүндүрлүй олар бир чох башга сопкаларла өртүлудүр.

Вулканы ачығ ерләринде, онун мұхтәлиф заманларда пұскүрдуйын көстәрән, рәнк вә хүсусийәтләrinе көрә бир-бириндән фәргеләнән лайлары мұшақнда әтмәк мүмкүндүр. Ахырынчы пұскүрмә 1951-чи илдә баш вершишdir. Ени сопканың саһәси 0,076 км<sup>2</sup>-ә яхындыр. Бурда әсас әтибарилә саһәнин мәркәзи һиссәсінә анд, бир нечә сопка синфиинә (группа) раст кәлирик. Бунлардан карбон газы вә мае сопка леймәси харич олур.

Кәнар зоналарда бу саһәнин гәдим пұскүрмә сопка брекчиялары ятағына нисбәтән ерини дәйишиш олдуғу нәзәрә чарпыр. Бу ер дәйищімә саһәнин чәнуб тәрәфинде 1—2 м-ә чатыр.

Ахырынчы пұскүрмә просесіндә характерик сұхурлардан көтүрүлән нұмұнәләр үзәрә онларын страграфик тәркиби, мәсамәлилік-кечіричилик хассаселәри өйрәнилшишdir.

Зәиф сementләшшиш сұхурлардан килли алевритләр, алевритли килләр вә гумлу хлидолитләр тә'йин әдилшишdir. Биринчиләрдә—гум гырығы, нарын дәнәли; боз; иккичиләрдә (сопка лилиндә)—структурасыз, боз; учүнчүләрдә—хырда дәнәли, боз рәнкли вә шиствари сұхурлардан ибаратdir.

Шиствари гумлу хлидолитләр диатом лайының айойогудурлар.

Бәрк сementләшшиш сұхурлар кварслы, глауконит-кварслы гумдашылары, пелитоморф доломитләр, әһәнкли, чөлшпатлы, кварслы гумдашылары, органокен детриус әһәнкдашыларындан ибаратдирләр. Кварс вә глауконит-кварслы гумдашылар сementии хүсусийәтинә көрә айрылыш. Әһәнкли вә күкүрдлү-силистомлу.

Бүтүн көстәрилән гумларын тәркибинидә кварс минералы чох ер тутур (38—60%).

Чөлшпаты исә ялызы әһәнкли чөлшпатлы-кварслы гумдашыларында (12%) гейд олунур. Башгаларына нисбәтән сонунчулар нисбәтән ән яхшы коллектор хүсусийәтләrinе маликдирләр.

Пелитоморф доломитләр чәнуб-шәрги Гобустандакы диатом лайынын апологудур. Органокен детриус әһәнкдашыларыны исә Абшерон ярусuna дахил әтмәк олар.

Беләликлә, соң пұскүрмә аттылары сайәсіндә раст кәлән ән гәдим чекүнтуләр диатом лайы сұхурларындан ибаратdir.

#### МИКРОБИОЛОГИЯ

Г. С. КАСИМОВА, А. Г. ПАКУСИН

### ОБРАЗОВАНИЕ КРИСТАЛЛОВ МАГНИЙАММОНИЙФОСФАТА В РЕЗУЛЬТАТЕ ЖИЗНЕНДЕЯТЕЛЬНОСТИ МИКРОБОВ

(Представлено действ. членом АН Азербайджанской ССР  
А. И. Каравым)

Образование кристаллов в питательных средах при культивировании микробов является довольно широко известным в микробиологии фактом (3, 4, 5, 8, 10). Однако природа этих кристаллов, условия их формирования, химический состав и особенно связь с микробной клеткой остаются еще недостаточно выясненными.

Для выяснения этих вопросов мы в 1950 г. начали исследования в лаборатории антибиотиков Азербайджанского государственного университета им. С. М. Кирова. Микробные штаммы культивировались нами на различных питательных средах: мясо-пептонном бульоне, мясо-пептонном бульоне с глюкозой 1%, мясо-пептонном агаре, мясо-пептонной желатине, синтетической среде 1 (CP-1: Na NO<sub>3</sub>—4 г, Mg SO<sub>4</sub>—1 г, K<sub>2</sub> PO<sub>4</sub>—1,6 г, глюкоза—40 г, вода водопроводная—1000 мл). Из микроорганизмов были использованы: *Bac. mycoides* (штамм 3) *staphylococcus aureus*, *Staph. albus*, *Staph. citreus*, *Bac. ruosealantium*, *Bac. coli*, *Bac. subtilis*, *Proteus vulgaris*, *Sarcina flava* и другие музейные культуры. Культивирование микробов осуществлялось по обычным правилам.

Для исследования брались 5, 10 и 15-дневные культуры. Кристаллы извлекались из микробной массы на твердых средах стальной копьевидной иглой, из жидких сред промывкой дистиллированной водой в колбе емкостью 1000 мл.

Структура извлеченных кристаллов изучалась микроскопически, а также с помощью микрофотографии. Химический состав определялся методом микрохимического анализа (1, 6, 7, 9).

Наши исследования показали, что образование кристаллических структур можно обнаружить при различных сроках культивирования микробов (4, 10, 15 суток) на твердых и жидких питательных средах. Кристаллы, образующиеся на твердых средах, представляют собой друзы в виде комочеков, перьев, веточек и листочков. В жидких средах встречаются как друзья, так и единичные кристаллы в виде призм, напоминающие собой гробовые крышки.

Образованию кристаллов предшествует, как правило, повышение рН до 7,8–8,1. Так, при росте *Vac. mycoides* (штамм 3) на МПБ (рН–7,2) через 24 часа среда подкисляется до 6,5, а затем начинает снова подщелачиваться. Через 96 часов рН достигает 7,8. С этого момента наступает активное образование кристаллов. Образованию кристаллов также способствуют хорошая аэрация и большой объем среды. В случае выращивания *Vac. mycoides* (штамм 3) на МПБ (35 мл) в конической колбе емкостью 250 мл образование кристаллов наступает на 3–4 сутки, а в пробирке с 5 мл той же среды этот процесс начинается на 10–12 сутки.

Форма образующихся кристаллов непостоянна. Она зависит от состава среды, ее плотности, времени кристаллизации и положения кристалла в период его роста. Специфических форм кристаллов, присущих той или иной культуре, обнаружить не удается. При культивировании одного и того же микробы кристаллы часто имеют различную форму.

Такое различие хорошо обнаруживается при культивировании *Vac. mycoides* (штамм 3) на различных питательных средах. Кристаллы, образующиеся в МПБ и СР-1, имеют сходную форму, а в МПБ с глюкозой 1%, МПА и МПЖ в каждом случае имеют отличную форму (рис. 1, 2, 3, 4, 5).

Кристаллы различной формы могут встречаться в одной и той же среде, особенно твердой. Кристаллы, образующиеся в результате жизнедеятельности различных микробов на одинаковых средах, могут иметь сходные формы.

Размер кристаллов может быть различным. Большинство кристаллов видно невооруженным глазом.

В настоящее время нами установлено, что кристаллы могут образовываться в результате жизнедеятельности *Vac. mycoides* (штамм 3) *sarcina flava*, *Stip. albus*, *Staph. aureus*, *Proteus vulgaris*, *Staph. citreus*, *Bac. subtilis*, *Bact. coli*, *Bact. pyosuaceum*, *Bact. dysenteriae*, *Flexner*, *Bact. Paratyphi B*, *Bact. paratyphi N*, грибков из рода *Penicillium*, *Aspergillus*, актиномицетов и дрожжевых грибков. (рис. 6, 7, 8, 9, 10, 11, 14).

Полученные кристаллы устойчивы к физическим и химическим воздействиям. Они нерастворимы в холодной и кипящей воде, органических растворителях (бензоле, толуоле, ацетоне, бензине, спиртах, эфире, хлороформе) и крепких растворах щелочей (50% KOH). Кристаллы растворимы в слабых растворах минеральных и органических кислот (соляной, серной, азотной, уксусной, лимонной, аскорбиновой). Для механического разрушения требуется определенное усилие. При высушивании (100–200° С) кристаллы сохраняют свое строение, при этом белый цвет, друзы рассыпаются на отдельные кристаллики.

В ходе группового микроанализа кристаллов обнаружены ионы Mg, PO<sub>4</sub>, NH<sub>4</sub>. Других ионов и элементов не обнаружено. Химический состав кристаллов, их свойства и структура дают возможность считать, что они представляют собой кристаллы магнийаммонийфосфата.

Анализ питательных сред в период формирования кристаллов показывает, что образованию кристаллов способствует появление аммиака в среде. Влияние аммиака было прослежено при культивировании *Vac. mycoides* (штамм 3) на СР-1 (рН-7,0).

Среда СР-1 удобна тем, что в ней отсутствует аммиак и присутствуют растворимые соли Mg SO<sub>4</sub> и K<sub>2</sub> PO<sub>4</sub>. Появление аммиака в результате жизнедеятельности микробов и одновременное изменение рН до 7,8 всегда приводят к образованию кристаллов магнийаммоний-

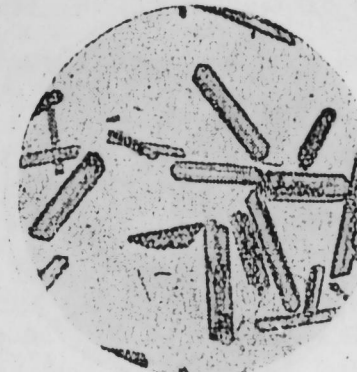


Рис. 1. Кристаллы, образующиеся в МПБ при жизнедеятельности *Vac. mycoides* (штамм 3).



Рис. 2. Кристаллы, образующиеся в СР-1 при жизнедеятельности *Vac. mycoides* (штамм 3).



Рис. 3. Кристаллы, образующиеся в МПБ с глюкозой при жизнедеятельности *Vac. mycoides* (штамм 3)



Рис. 4. Кристаллы, образующиеся в МПА при жизнедеятельности *Vac. mycoides* (штамм 3)

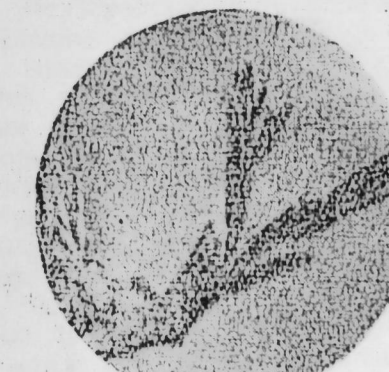


Рис. 5. Кристаллы, образующиеся в МПЖ при жизнедеятельности *Vac. mycoides* (штамм 3)

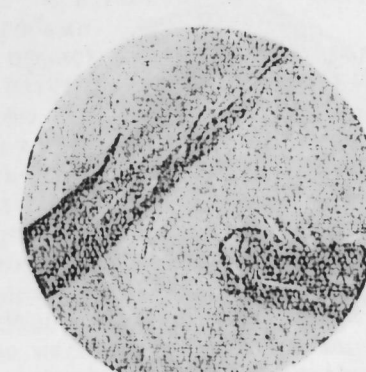


Рис. 6. Кристаллы, образующиеся в МПА при жизнедеятельности *Staph. albus*

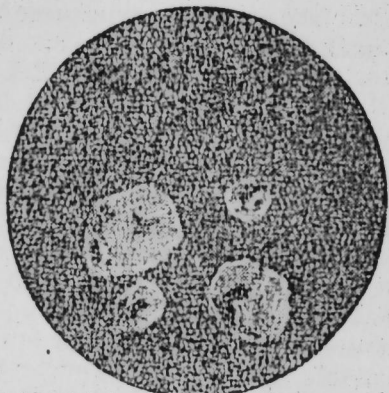


Рис. 7. Кристаллы, образующиеся в МПА при жизнедеятельности *Staph. citreus*



Рис. 8. Кристаллы, образующиеся в МПА при жизнедеятельности *Bac. subtilis*

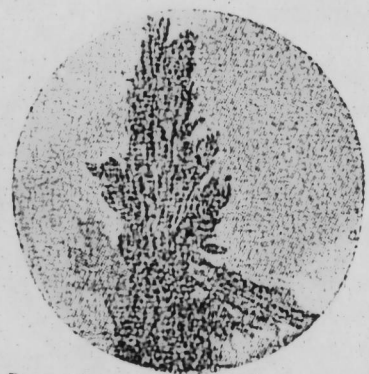


Рис. 9. Кристаллы, образующиеся в МПА при жизнедеятельности *Sarcina flava*



Рис. 10. Кристаллы, образующиеся в МПБ при жизнедеятельности *Aspergillus* (штамм 252)



Рис. 11. Кристаллы, образующиеся в МПБ при жизнедеятельности *Pep. solitum* (штамм 452)

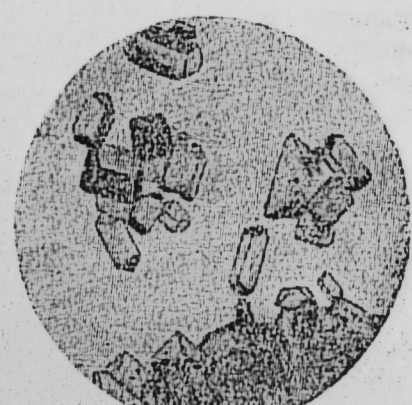


Рис. 12. Кристаллы, полученные при медленном пропускании аммиака через МПБ

фосфата. Появление аммиака в среде определялось реагентом Несслера.

Учитывая, что для образования кристаллов магнийаммонийфосфата необходимо присутствие в среде аммиака, мы произвели искусственное образование кристаллов в МПБ и СР-1.

Если через МПБ или СР-1 обильно пропустить газообразный аммиак, образующийся при разложении кристаллов мочевины от нагревания, то в среде тотчас же выпадают мелкие кристаллы, форма которых специфична для кристаллов магнийаммонийфосфата в микро-химическом анализе (рис. 13). Если же пропускать через эти среды (при температуре 40—50° С) газообразный аммиак небольшими порциями, то среди образующихся кристаллов преобладают ромбические формы (рис. 12).



Рис. 13. Кристаллы, полученные при пропускании аммиака через МПБ



Рис. 14. Кристаллы, образующиеся в МПБ при жизнедеятельности *Bac. ruosuapeit*

Кристаллы могут быть получены и при добавлении нашатырного спирта в МПБ или в СР-1.

Непосредственное исследование кристаллов дало возможность выяснить связь между ними и микробами.

Известно, что когда в растворе происходит кристаллизация вещества, растущий кристалл может захватить посторонние частицы, включив их в себя. Таким путем микробы, их споры или фильтрующиеся формы могут быть легко включены в кристаллы, образующиеся в зоне роста микробов. Кроме того, в период роста кристалла в нем могут образовываться тонкие трещины или изъяны, которые в дальнейшем полностью сглаживаются. В этих трещинах и изъянах остаются замурованные микробные клетки, их споры или фильтрующиеся формы.

Чтобы убедиться в том, что кристаллы содержат в себе микробные клетки, извлеченные из микробной массы кристаллы растворяют в капле 3% соляной кислоты, после чего приготовляется окрашенный препарат. Кристаллы перед растворением, в целях устранения с их поверхности микробов, должны быть обработаны водой, ацетоном, равной смесью эфира с хлороформом, смочены спиртом и обожжены. После такой обработки в полученном мазке всегда можно обнаружить микробов.

Алынаң кристалларын һамысы үзви вә зәиф концентрасиялы гейри-үзви туршуларда яхшы һәлл олур, спирт, асетон вә дикәр һәлләди-чиләрдә исә тамамилә һәлл олмур. Кристаллар йүксәк һәрәрәтә гар-шы чох давамлыдыр. Онлар әмәлә қәлән заман, гидалы мүһитдә олан һиссәчикләри, микроорганизмләри, онларын спорларыны вә саирәни өз ичәрисинә ала биләр. Кристаллар өз ичәрисиндә ерләшән микроорганизмләри харичи физики-кимйәви амилләрдән мудафиә әдир вә она көрә дә кристалларда олан микроблар кристаллара дезинфекция әдичи маддәләр, гәләвиләр вә йүксәк һәрәрәтлә тә'сир әтдикдә мәһв олмурлар.

Кристаллары хүсуси үсулла һәлләт әтдикдән соңра, орадан кристалларын әмәлә қәлдийи гидалы мүһитдәки микроорганизмләри айырмаг мүмкүндүр.

Тәчрүбәләримиздә әлдә әдилән кристаллар өз формасы вә гуруулушуна көрә, тамамилә Башняның китабында көстәрилән кристаллара уйғундур, лакин кимйәви аналиزلәр көстәрмишdir ки, бу кристаллар зұлал тәбиәтли дейилдирләр. Бунлар кимйәви тәркибчә магнезиум-аммониум фосфат дүзүндан ибарәтдир.

АГРОХИМИЯ

М. Ш. РУСТАМОВ

О МЕТОДЕ ПРЕДВАРИТЕЛЬНОГО ОПРЕДЕЛЕНИЯ ДОЗЫ  
КИСЛОГО ГУДРОНА ПРИ КИСЛОВАНИИ ЩЕЛОЧНЫХ ПОЧВ

(Представлено действ. членом АН Азербайджанской ССР  
А. И. Караевым)

Для нормального роста и развития растений и микроорганизмов почв, кроме актуальной реакции внутренней среды самого организма, равное значение имеет и величина актуальной реакции почвенной среды, строго определенной для каждой сельскохозяйственной культуры и каждого микроорганизма почвы.

В том случае, когда актуальная реакция почвенной среды не отвечает требованию возделываемой культуры, приходится ее изменять искусственно, сдвигать в ту или другую сторону. Так, например, известкование почв проводится в целях борьбы с избытком кислотности почвы подзолистой зоны.

Известкование почвы изучено более или менее глубоко: выработаны методы установления дозы извести, способы и сроки ее внесения и т. д. (4, 8, 9).

Кислование же почвы, как мера борьбы с избытком ее щелочности, проводилось недостаточно. Немногочисленные работы по кислованию велись в основном с целью мобилизации фосфатных запасов почв (1, 2, 3, 5, 6, 7). Кислованию подвергались зачастую те почвы, которые не нуждались в переделке их реакции. Поэтому кислование почвы вообще, и как способ переделки актуальной реакции почвенной среды, очень мало изучено: нет метода установления дозы подкислителя, не выработан способ его внесения и т. д.

Между тем кислование почвы, как мера борьбы с избытком щелочности ее, имеет серьезное значение для развития чайной культуры в Азербайджане.

Прежде всего для создания благоприятной величины pH почвенной среды необходимо установить требующуюся дозу вносимого в почву подкислителя.

В лабораторных условиях дозы подкислителей (например, кислого гудрона) определяются следующим образом. В маленькие химические стаканчики помещается по 4 г размельченной, просеянной почвы. Затем туда же добавляются в возрастающих количествах в интерва-

Таблица 1

м-экв. на 100 г почвы	рН образцов почвы				Количество подкислителя в т/га				Примечание
	I	II	III	IV	H <sub>2</sub> SO <sub>4</sub>	кислый гудрон, содержащий 30% серн. кислоты	серы	(NH <sub>4</sub> ) <sub>2</sub> SO <sub>4</sub>	
0,0	7,04	7,59	6,90	7,97	—	—	—	—	Образцы почвы
0,5	7,09	6,41	7,89	2,94	9,80	0,96	3,96	—	1—с участка колхоза "Баш Совет" II и IV—с участка "Истин-алты"
1,0	6,85	6,59	6,39	7,77	5,88	19,60	1,92	7,92	III—с участка "Га- джиначи" колхоза им. Кагановича Ленкоранского района
1,5	6,59	6,06	7,60	8,82	29,40	2,88	11,88	—	—
2,0	6,34	5,82	7,46	11,76	39,20	3,84	15,84	—	—
2,5	6,03	5,58	7,08	14,70	49,00	4,80	19,80	—	—
3,0	6,28	5,77	5,42	6,96	17,64	58,80	5,76	23,76	—
3,5	5,66	5,25	6,92	20,58	68,60	6,72	27,72	—	—
4,0	6,08	5,41	5,26	6,76	23,52	78,40	7,68	31,68	—
4,5	5,24	5,04	6,49	26,46	88,20	8,64	35,64	—	—
5,0	5,82	5,01	4,68	6,16	29,40	98,00	9,60	39,60	—
10,0	5,27	4,23	4,16	4,93	58,80	196,00	19,20	79,20	—
15,0	4,45	3,77	3,77	4,39	88,20	294,00	28,80	118,80	—

лах 0,5 м-экв. на 100 г почвы серная кислота (если известно содержание карбонатов в исследуемой почве, то добавление серной кислоты можно начать с того количества, которое требуется для разрушения карбонатов). Затем объем жидкости в стаканчиках доводится дистиллированной водой до 10 мл. После тщательного перемешивания содержащимся стаканчиков оставляют стоять сутки, в течение которых перемешивание повторяется еще два раза. Затем в них электрометрически определяется величина pH.

Так как при определении величины pH, как бы тщательно ни промывались электрод и огаровый соединительный сифон, при переходе с одного варианта на другой наблюдаются скачки, желательно, чтобы повторность опыта была трехкратной.

Чтобы установить дозу кислого гудрона, выбираем то количество серной кислоты, которое в предварительном опыте создало необходимое pH почвенной среды (для чая—4,5—6,5).

Для образца 1 (см. таблицу 1) понадобилось 5 м-экв. серной кислоты на 100 г почвы, чтобы создать pH=5,82.

Зная количество серной кислоты, понижающее pH почвы до желаемого предела, можно по следующей формуле вычислить количество кислого гудрона на гектар:

$$\frac{a \cdot 0,049 \cdot 12000}{b} \text{ т/га кислого гудрона.}$$

где:  $a$ —число м-экв. кислоты на 100 г почвы, понижающее pH до желаемого предела (берется из данных лабораторного исследования);  
 $0,049$ —м-экв. серной кислоты;  
 $12000$ —количество почвы в тоннах на гектар при толщине пахотного слоя 0,8 м;

$b$ —процент содержания серной кислоты в кислом гудроне.

Подставляя найденное значение  $a=5$  м-экв. и  $b=28\%$ , находим, что для образца 1 доза кислого гудрона равна 98 т/га.

С целью проверки правильности дозы кислого гудрона отвешивается 500 г размельченной и просеянной почвы. К ней добавляется обработанный таким же образом кислый гудрон, содержащий 28% серной кислоты, из расчета 5 м-экв. серной кислоты на 100 г почвы. Тщательно перемешанная с кислым гудроном почва набивается в химические стаканы. После этого к ней добавляется вода из расчета полной влагоемкости, а в последующие дни влажность поддерживается в пределах 60% от полной влагоемкости почвы. В образцах, взятых из стакана через 15 и 30 суток, электрометрически определялась величина pH. Результаты этих определений приводятся в таблице 2.

Таблица 2

Число м-экв. кислоты на 100 г почвы	Количество подкислителя на 500 г почвы в г		Величина pH					
	кислый гудрон	серная кислота	контроль		кислый гудрон		серная кислота	
	через 15 дней	через 30 дней	через 15 дней	через 30 дней	через 15 дней	через 30 дней	через 15 дней	через 30 дней
5	4,400	0,245	6,9	6,8	4,7	4,8	5,4	5,0

Из таблицы 2 видно, что доза кислого гудрона для образца 1 определена с незначительной погрешностью (это можно объяснить

неравномерным распределением серной кислоты в массе кислого гудрона и присутствием органических кислот, которые не были учтены).

Лабораторные исследования показывают, что буферность почвы разрушается медленно. Поэтому pH, созданная в первые сутки, в дальнейшем постепенно до некоторой степени увеличивается. Это видно из данных таблицы 3.

Величина pH, определенная в первые сутки, во всех вариантах меньше, чем в последующем.

Таблица 3

Число м-эка. кислоты на 100 г почвы	pH				
	через 1 сутки	через 4 суток	через 7 суток	через 10 суток	через 13 суток
5	5,82	6,26	6,06	6,10	5,94
10	5,05	5,44	5,62	5,94	5,77
15	4,45	4,64	4,87	5,29	5,13
20	3,62	4,40	4,25	4,62	

Отсюда ясно, что для более или менее точного определения дозы подкислителя требуются не одни сутки контакта кислоты с почвой, а намного больше.

Поэтому правильность предварительно определенной дозы подкислителя необходимо проверять в лабораторных условиях не менее чем на 500 г почвы. Продолжительность опыта должна быть не меньше 15 дней.

Зная количество серной кислоты, понижающее pH почвы до желаемого предела, приближенно можно установить дозы и других подкислителей, например, серы, сернокислого аммония и др. В таблице 1 приведены количества их, соответствующие дозе серной кислоты, установленной описанным выше способом.

Безусловно, такой способ определения дозы подкислителей, особенно серы, сернокислого аммония или им подобных, действие которых на почву в естественных условиях сильно отличается от лабораторных, не даст точного количества подкислителей.

Для точного определения дозы подкислителей в производственных условиях необходимо изучение почвенно-климатических факторов, влияющих на величину pH почвы.

#### ЛИТЕРАТУРА

1. И. П. Засев—Влияние кислования обыкновенного чернозема на урожай озимой ржи и пшеницы. «Соц. земледелие» № 5, 1933. 2. А. Т. Кирсанов—Химизация чернозема. Воронеж, 1933. 3. А. Т. Кирсанов—Значение для растений частичного замещения обменных осложнений на Н с последующим введением Fe и новый подход к известкованию. Тр. Почвенного инст. им. В. В. Докучаева, т. X, вып. 4, 1944. 4. Н. П. Ремезов и С. В. Цербла—Теория и практика известкования почвы. М., 1948. 5. И. П. Соловьев—Кислование чернозема как фактор повышения урожая. «Соц. земледелие» № 3, 1933. 6. А. Г. Сенюшов—Кислование как фактор активизации плодородия чернозема. Тр. Почвенного инст. им. В. В. Докучаева, т. XIV, 1937. 7. А. Соколов—К вопросу о действии кислот на растворение P<sub>2</sub>O<sub>5</sub> почвы. Бюлл. № 3/34. Издание ПОСХОС, Киев, 1928. 8. Справочник агронома по удобрениям. Сельхозгиз, 1948. 9. С. С. Ярусусов—Известкование подзолистых почв. М., 1948.

Почвенно-эрзийская станция  
АИ Азербайджанской ССР

Поступило 10. XI. 1952

М. Ш. Рустэмов

Турш гудронун дозасыны тә'йин этмәк һагында

#### ХУЛАСӘ

Гәләвили вә зәиф гәләвили торпагларда чай плантасиясы салмаг үчүн, һәмнин торпагларда чай биткисинә ярарлы актуал туршуулуг яратмаг лазымдыр. Элбәттә, һәмнин көстәрилән торпагларда актуал туршуулуг яратмаг үчүн онлара туршуу вермәк лазымдыр.

Тәркибиндә күкүрд туршусу олан нефт туллантысы, турш гудрон гәләвили вә зәиф гәләвили торпагларда актуал туршуулуг яратмаг үчүн ишләдилә биләр. Турш гудрону ерә вермәк үчүн габагчадан онун дозасыны тә'йин этмәк лазымдыр. Турш гудронун дозасыны бу ашагыдағы үсулла тә'йин этмак олар.

Бир нечә балача кимйәви стаканлара 4 г әзилиб вә әләнимиш торпаг төкүлүр вә, үзәринә мүәййән мигдарда, кет-кедә эйин мигдарда артан күкүрд туршусунун мәһлүлу әлавә әдилир. Соңра һәмнин стаканларда туршуларын сәвиййәси, дестилә сую әлавә этмәклә, 10 м-эка чаттырылыр вә мүкәммәл гадыштырылыб бир күн сахланылыр вә бу мүддәт кечдикдән соңра электрометрик үсулла һәмнин стаканларда pH тә'йин олунур.

Чай биткиси үчүн оптималь pH ярадан туршунун мигдары, турш гудронун дозасыны тә'йин этмәк үчүн лаборатория тәчрүбәсендән се-чилир вә ашагыдағы формул үзрә онун дозасы тә'йин олунур:

$$\frac{a \cdot 0,049 \cdot 12000}{v} = m/ga$$

a—чай биткиси үчүн оптималь pH яратмагдан өтүрү 100 г торпага сәрф олунан күкүрд туршусунун мигдары, м-эка илә;  
0,049—м-эка. (күкүрд туршусунун);

12000—80 см дәрениликдә бир һектар саһәдә олан торпагын мигдары, т илә;

v—турш гудронда олан күкүрд туршусунуй % илә мигдары.

ФАРМАКОЛОГИЯ

А. И. КАРАЕВ и Р. К. АЛИЕВ

**О РАНОЗАЖИВЛЯЮЩЕМ СВОЙСТВЕ СИНТЕТИЧЕСКИХ  
РОСТОВЫХ ВЕЩЕСТВ**

(Предварительное сообщение)

В одной из предыдущих наших работ (1) было показано, что нафталанская нефть, применяющаяся при лечении различных ран (2, 3, 4), обладает ростовым действием. Возникает вопрос—не связано ли ранозаживляющее свойство нафталанской нефти с ее ростовым действием? Разрешить этот вопрос можно различными путями. В настоящей работе мы попытались подойти к его разрешению путем изучения ранозаживляющего действия различных синтетических ростовых веществ, широко применяемых в практике сельского хозяйства.

Как известно, синтетические ростовые вещества насчитываются многими десятками [5]. Не имея возможности исследовать действие всех, мы выбрали для своих опытов следующие три вещества:

1. Гетероауксин (3-индолилуксусная кислота);
2. 2,4-дихлорфеноксимасляная кислота;
3.  $\alpha$ -нафтилуксусная кислота.

Эти вещества применялись в виде 1% мазей, приготовленных на вазелине.

Наши исследования производились на 20 кроликах одного возраста. Все они содержались в одинаковых условиях.

В соответствии с задачами наших исследований подопытные кролики были разбиты на 4 равные группы. У всех кроликов на правой боковой поверхности спины шерсть коротко выстриглась ножницами. На этой стороне иссекался лоскут стриженой кожи круглой формы одинакового размера у всех животных.

Через 3 часа после удаления кожи раны смазывались: у кроликов первой группы—1% вазелиновой мазью гетероауксина, у кроликов второй группы—1% вазелиновой мазью 2,4-дихлорфеноксимасляной кислоты, у кроликов третьей группы—1% вазелиновой мазью  $\alpha$ -нафтилуксусной кислоты, у кроликов четвертой группы (контрольной)—только вазелином. Раны смазывались по одному разу ежедневно до полного заживления. На 2-й, 5-й, 10-й и 15-й дни измерялся ареал раны по общепринятой методике.

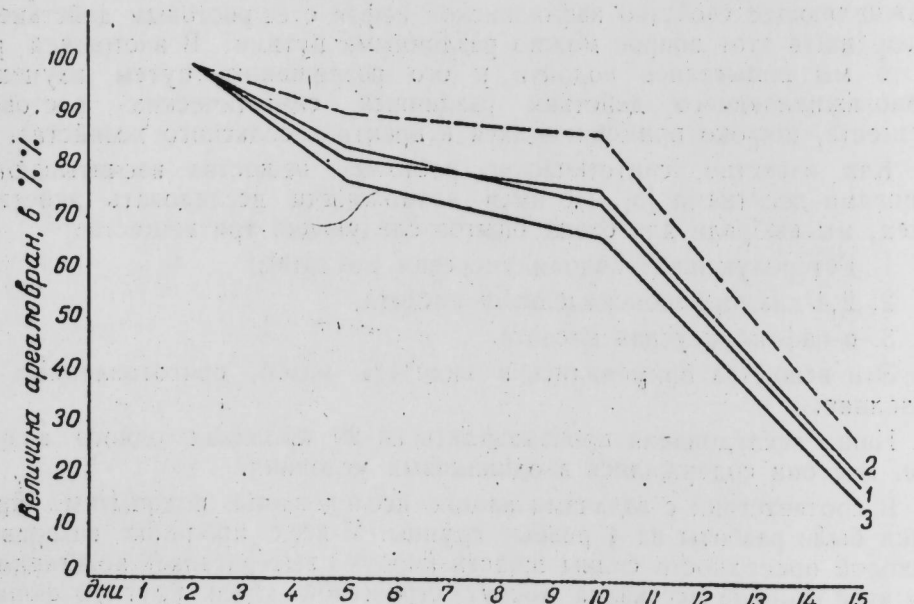
Попутно мы изучили флору раны. С этой целью на четвертый день из выделений ран были сделаны посевы на пластинчатый агар и приготавливались мазки.

В ходе бактериологического анализа внимание обращалось на следующие признаки выделенных стафилококков: на пигментацию, на отношение их к крови, манинту, желатину и молоку. Это было необходимо для определения патогенности выделенных стафилококков.

Выяснилось, что микрофлору ран контрольной группы животных составляют патогенные золотистые и белые стафилококки. В ранах, смазанных вазелиновой мазью ростовых веществ, рост патогенных микробов не имел места. Вероятно, ростовые вещества обладают антибактериальным действием. Это заключение требует подтверждения и детального изучения.

Ранозаживляющее действие исследованных нами синтетических ростовых веществ было определено установлено нашими опытами.

В процессе заживления ран, подвергшихся действию ростовых веществ, в отличие от контрольных были отмечены следующие особенности: раны на месте кожного дефекта, как правило, увеличивались в размерах вследствие сужения окружающей ткани. Площадь (ареал) этих ран на второй день достигала 5–10 см<sup>2</sup>. Эти изменения в ранах, смазанных мазью ростовых веществ, отмечались сравнительно меньше; заживание их происходило без особых выделений, со сравнительно слабыми воспалительными явлениями, поверхность их была сухая. Появление заметных грануляций отмечалось на 7 день. Отторжение корки и полное заживание ран у подопытных групп животных проходило на 18–19 день.



Под коркой обнажался бело-розового цвета рубец звездчатой формы размером 0,3 × 0,2 см. Вокруг раны удалось заметить усиленный рост волос.

Контрольные раны, не обработанные мазью ростовых веществ, в течение первой недели сильно увеличивались в размерах. Они были сочными, края их сильно набухли, наблюдалось кровянисто-гнойное выделение. Появление заметных грануляций отмечалось на 9–10 день. Полное заживание их с отторжением корки происходило на 21–22 день. Под коркой обнажался красновато-сероватого цвета рубец звезд-

чатой формы. Усиленного роста волос вокруг контрольных ран не отмечалось.

На графике приведены данные, характеризующие изменение величины ареала подопытных ран, подвергшихся действию мази ростовых веществ (сплошные линии), и контрольных, смазанных одним вазелином (пунктирная линия). По оси абсцисс указано время, а по оси ординат—общая площадь ареалов 5 ран (одной серии) в процентах к первоначальной величине (величине 2-го дня). Сопоставляя кривую динамики заживления ран, подвергшихся действию ростовых веществ, и контрольных, не получивших такого лечения, мы можем заключить, что под влиянием синтетических ростовых веществ заживание ран (сокращение ареала) ускоряется. Хотя это ускорение небольшое, но оно ясное и несомненное. Возможно, что при более высоких концентрациях ростовых веществ в мази, а также при других методах применения удастся увеличить эффективность ранозаживляющего действия.

Изучению антибактериального, бактериостатического действия и подробному гистологическому исследованию роста тканей под влиянием ростовых веществ посвящены наши дальнейшие работы.

#### ЛИТЕРАТУРА

1. А. И. Карапев—Известия АН Азерб. ССР № 11, 1951.
2. А. Карапев и Л. Адамян—Известия АзФАН СССР № 7, 1941.
3. А. Карапев и Р. Карабанова—Известия АН Азерб. ССР № 3, 1942.
4. З. М. Мамедов и М. А. Гусейнзаде—Труды Азербайджанского медицинского института, Баку, 1945.
5. Ю. В. Ракитин—Ростовые вещества и их применение в растениеводстве. Москва, 1948.

Поступило 18.IX.1952.

А. Гараев вэ Р. Элиев

Синтетик бой маддәләринин ярасагалдычы тә'сири һагында

#### ХҮЛАСӘ

Мүәллифләр бир сыра фактлара əсасән мүаличә Нафталан нефтини ярасагалдычы тә'сирини, онун бойартырычы тә'сири илә əлагәләндирirlәр. Бу мәсәләни һәлл этмәк учун мүәллифләр, кәнд тәсәрүфатында ишләдилән синтетик бой маддәләриндән үчүнүн (нетероауксина, 2,4-икихлорфеноксияг туршусу, алфа-нафтилсиркә туршусу) ярасагалдычы тә'сирини өйрәнмишләр.

Тәчрүбәләр 20 ададовшаны үзәриндә апарылышында.

Бой маддәләри 1%-ли вазелин мәліеми һалында көтүрүләрек, ададовшанларының дәрисинде əмәлә кәтирилмиш яралар сагалана гәдәр онлара құндә бир дәғә сүртүлмүшшүр. Нәтичәдә бой маддәләринин яраларын сагалмасыны сүр'этләндиринчи тә'сири малик олдуғу мә'лум олмушшүр.

И. С. САФАРОВ

## ЕСТЕСТВЕННОЕ НАСАЖДЕНИЕ ПЛАТАНА В АЗЕРБАЙДЖАНЕ

(Представлено действ. членом АН Азербайджанской ССР  
А. И. Караевым)

Леса Азербайджана отличаются большим богатством и разнообразием древесной и кустарниковой растительности. Наряду с широко распространенным дубом, буком, ясенем, грабом, кленом здесь произрастают такие редкие породы, как железное дерево, дуб каштанолистный, шелковая акация и сосна эльдарская, которые нигде больше в мире в естественных насаждениях не встречаются.

Весьма интересно наличие в лесах Азербайджанской ССР эндемичных платановых древостоев. О существовании их в лесоводственной литературе в прошлом не сообщалось. Даже в книге известного лесовода Я. С. Медведева „Деревья и кустарники Кавказа“ (Тифлис, 1919), в которой подробно описаны все виды древесно-кустарниковой растительности Кавказа, нет никаких указаний о наличии здесь естественных платановых лесов.

Согласно литературным источникам, естественные платановые насаждения имеются лишь в Малой Азии и на Гималаях. В остальных пунктах земного шара платан встречается только в результате культивирования этой ценнейшей долговечной породы человеком. Поэтому естественно, что природные платановые леса на юго-восточных склонах Малого Кавказского хребта представляют огромную ценность для лесоводственной и ботанической науки.

Юго-восточные склоны Малого Кавказского хребта характеризуются ксерофитностью растительного покрова. Гидрофильные ассоциации приурочены к поймам горных рек. Среди них наиболее интересной является лесная растительность вдоль р. Баситчай, берущей начало с юго-восточных склонов хребта (Зангезур) и впадающей в р. Аракс.

Насаждение платана *Platanus digitifolia* расположено на протяжении 12–15 км на пологих берегах р. Баситчай.

С северной стороны к нему примыкают низкоствольные леса из фисташки, дуба, каркаса, крушины Палласа, держи-дерева, свидины, боярышника, алычи, а с юга—высокоствольные насаждения из дуба, граба, ясения и других пород. Отдельными группами встречаются древовидные можжевельники.

В насаждениях платана группами встречается орех грецкий, высотой 25—26 м и диаметром 70—80 см. Местами отмечена примесь каркаса и карагача. Однако встречаются чистые древостоя, где платан достигает высоты 36 м и диаметра на уровне груди 3 м.

Подстилка из листьев платана толщиной 1—1,5 см—полуразложившаяся.

При обследовании насаждений нами были заложены три пробные площадки. Проба № 1 находится в смешанном насаждении, где первый ярус состоит из платана высотой 30—36 м и диаметром 1,5—2 м в возрасте 250—300 лет, второй ярус—каркас высотой 15—17 м и диаметром 45—50 см, кустарник и держи-дерево. Проба № 2 заложена на берегах р. Шхаузчай (приток Баситчая), первый ярус здесь также состоит из платана высотой 35—36 м и диаметром 160—170 см, второй ярус—из каркаса, карагача, ореха грецкого, из кустарников отмечены держи-дерево, яблоня, кизил, алыча и другие. Полнота на этих участках 0,4—0,5. Проба № 3 заложена непосредственно возле русла реки, где первый ярус тоже состоит из платана высотой 36—37 м и диаметром 60—65 см, полнота его—0,6, второй ярус—из единичного тополя гибридного высотой 23—24 м.

На территории насаждения имеется единичное семенное возобновление платана различных возрастов, однако плодоношение платана обильное. На месте срубленных деревьев отмечено сильное порослевое возобновление. В силу естественной старости несколько деревьев платана свалилось.

Значительный вред платановым лесам нанесен был в 1925—1928 гг. рубками для мебельного производства.

Платан является деревом первой величины, достигающим 45 м в высоту и 6 м в диаметре. Вырастая на свободе, он развивает огромную шаровидную крону, которая затеняет площадь размером до 1000 м<sup>2</sup> и больше. Такие экземпляры встречаются в Джебраильском и Агдашском районах. В летнее время под тенью этих гигантов отдыхают сотни людей. Вполне оправдана себя как украшение парков, садов и улиц культуры платана в Геокчайском, Шамхорском, Закатальском районах и в г. Кировабаде.

Платан является исключительно быстрорастущей породой, он легко размножается черенками на плодородной и увлажненной почве. Посадку его целесообразно производить укоренившимися черенками. Для этого ранней весной, перед началом сокодвижения, нужно заготовлять черенки (лучше всего из нижней части дерева) и высаживать в питомнике для укоренения из расчета 40—50 тыс. шт. на 1 га.

Питомники должны быть обеспечены водой для полива. Укоренившиеся черенки должны пересаживаться на постоянное место 2—3-летними деревцами. Наряду с этим платан может также размножаться посевом семян в питомниках.

При облесении степей и насаждении государственных и колхозных защитных лесных полос платану, как наиболее долговечной и ценной породе, должна принадлежать огромная роль.

Для спасения поголовья общественного скота от зноя в летнее время необходимо создавать на низменных пастбищах групповые насаждения из платана.

Насаждения платана в Зангеланском районе, как естественно-исторический памятник природы, объявлены заказником, со строгим режимом охраны и ведения хозяйства. Они будут служить источником получения семенного и посадочного материала для работ по облесению степных районов Азербайджанской ССР.

Поступило 9. X. 1952.

И. С. Сәфәров

Азәрбайҹанда тәбии чинар ағачлары

## ХУЛАСЭ

Азәрбайҹан ССР-ин мешә массивләри ағач вә кол нөвләринин чох мүхтәлиф олмасы илә фәргләнир. Бу мешәләрдә эндемик вә реликт нөвләри дә хәйли чохдур; мәсәлән: дәмирагач, шабалыдярпаг палыд, сары акасия, элдар шамы вә с. Һәмин ағачлар Азәрбайҹандан башга неч ердә тәбии налда чүчәриб битмир.

Азәрбайҹан ССР мешәләриндә чинар ағачларының тәбии йолла чүчәриб артмасы бәйүк мараг тәшкىл әдир.

Индийәдәк чинар ағачларының анчаг Кичик Асия вә Һималайда тәбии йолла чүчәриб артдығы, ер күрәсинин башга ерләrinдә исә анчаг әкилиб бечәрилмәклә, етишдирилдий күмай әдилирди.

Зәнкилан районунда Зәнкәзур силсиләсинин шәрг ямачларындан башлайыб ахан Бәсит чайы боюнча 12—15 км мәсафәдә тәбии чинар ағачлары битмишdir. Шимал тәрәфдән бу чинар ағачлығына пүстә, палыд, дағдаған, палас мурдарчасы, гара мурдарчча, гаратикан, емишан, чәнубдан исә—палыд, вәләс, вән вә саирәдән ибарәт олан ксерофит характеристи мешә массивләри, чүнубдан исә—палыд, вәләс, вән вә саирәдән ибарәт мешәләлklәr говушур.

Чинар ағачлары арасында кичик групларла гоз ағачлары раст кәлир. Онларын учалығы 25—26 м-ә, диаметри исә 75 см-ә чатыр.

Чинар ағачларының яши орта несаба 250—300 илә яхындыр. Учалыглары 30—36 м олуб, диаметрләри 1,5—2 м-ә яхындыр.

Һәмин чинар ағачларының ерләшдий саһәдә тохумдан чүчәриб әмәлә кәлмиш тәк-тәк чинар ағачлары көрүнүр. Онлары яши олдугча мүхтәлифdir.

Чинар ағачы, яшыллыг ишләrinдә әвәзэдилмәз ағач нөвләrinдән биридир. Җәбрајыл, Ағдаш, Көйчай, Загатала, Кировабад, Шамхор вә бир сыра районларда битән иәһәнк чинар ағачлары бу ерләри хәйли көзәлләшдирир.

Чинар, тез бәйүйән ағачдыр. Гәләм васитәсила чохалдылыр. Кек салмыш гәләмләри чыхарыб әкмәк даһа мәсләhәтди. Белә гәләмләри исә, хүсуси шитилликләрдә һазырламаг лазымдыр.

Тарлагоруян дөвләт вә колхоз-совхоз мешә золагларының салынсында, су архларының яиларына ағач әкилмәсийдә, һабелә дүээнликләрдә вә мешәсиз ерләrdә айры-айры мешә массивләри ярадылышында чинар ағачлары кениш ер тутмалыдыр.

Азәрбайчан ССР Элмләр Академиясы журналларына

1953-чү ил үчүн

абунә гәбулу давам әдир

„АЗӘРБАЙЧАН ССР  
ЭЛМЛӘР АКАДЕМИЯСЫНЫН  
ХӘБӘРЛӘРИ“

Илдә 12 нөмрә чыхыр.

Иллик абунә гиймәти . . . . . 96 манат

Төк нүсхәсүннүн гиймәти . . . . 8 манатдыр.

„АЗӘРБАЙЧАН ССР ЭЛМЛӘР  
АКАДЕМИЯСЫНЫН МӘ'РУЗӘЛӘРИ“

Илдә 12 нөмрә чыхыр.

Иллик абунә гиймәти . . . . . 48 манат

Төк нүсхәсүннүн гиймәти 4 манатдыр.

Абунә „Союзпечатын“ Бакы ше'бәсиндә (Бакы,  
Сталин күчәси, 103) вә башга ше'бәләриндә  
гәбул олунур.

Продолжается подписка на 1953 год на журналы  
Академии наук Азербайджанской ССР

„ИЗВЕСТИЯ  
АКАДЕМИИ НАУК  
АЗЕРБАЙДЖАНСКОЙ ССР“

12 номеров в год

Подписная цена . . . . . 96 руб.

Цена отдельного номера . . . 8 руб.

„ДОКЛАДЫ АКАДЕМИИ НАУК  
АЗЕРБАЙДЖАНСКОЙ ССР“

12 номеров в год

Подписная цена . . . . . 48 руб.

Цена отдельного номера . . . 4 руб.

Подписка принимается Бакинским отделением „Союзпечати“,  
Баку, пр. Сталина, 103,  
и другими отделениями „Союзпечати“.

РЕДАКЦИОННАЯ КОЛЛЕГИЯ: Алиев М. М., Карабаев А. И., Кашикай  
М. А., Мамедалиев Ю. Г. (зам. редактора), Михайлов К. А., Нагиев  
М. Ф., Топчибашев М. А. (редактор).

Подписано к печати 28/1 1953. Бумага 70×108<sup>1/16</sup>=17/4 листа; 5,13 печати. листа.  
Уч.-изд. лист. 3,9. ФГ 01250. Заказ № 342. Тираж 520.

Управление по делам полиграфической промышленности, издательства и книжной  
торговли при Совете Министров Азербайджанской ССР.  
Типография „Красный Восток“. Баку, ул. Ази Асланова, 80.

ИЗДАТЕЛЬСТВО  
АКАДЕМИИ НАУК  
АЗЕРБАЙДЖАНСКОЙ ССР

Вышли из печати  
СЛЕДУЮЩИЕ КНИГИ:

В. Самедов—Очерки о творческом характере марксизма-ленинизма (на русск. яз.), 318 стр., цена в перепл. 7 руб. 50 коп.

Коллектив—Бинагадинское местонахождение четвертичной фауны и флоры, т. II (на русск. яз.), 350 стр., цена в перепл. 20 руб. 20 коп.

В. И. Ульянишев—Микофлора Азербайджана, т. I (на русск. яз.), 336 стр., цена в перепл. 17 руб. 50 коп.

Коллектив—Труды Института земледелия АН Азерб. ССР, т. I (на русск. и азерб. яз.), 122 стр., цена в перепл. 6 руб. 25 коп.

Коллектив—Флора Азербайджана, т. II (на русск. яз.), 318 стр., цена в перепл. 20 руб.

Коллектив—Флора Азербайджана, т. III (на русск. яз.), 400 стр., цена в перепл. 20 руб.

Коллектив—Труды Института истории и философии АН Азерб. ССР, т. II (на русск. и азерб. яз.), 122 стр., цена в перепл. 7 руб. 50 коп.

Коллектив—Архитектура Азербайджана, очерки (на русск. яз.), 688 стр., цена в перепл. 30 руб.

Коллектив—Геология Азербайджана (Петрография), (на русск. яз.), 828 стр., Цена в перепл. 40 руб. 50 коп.

И. И. Карагин—Флора Апшерона (на русск. яз.), 440 стр., цена в перепл. 22 руб.

Коллектив—Истису Курорту (на азерб. яз.), 88 стр., цена 90 коп.

Коллектив—Курорт Истису (на русск. яз.), 92 стр., цена 90 коп.

Л. И. Прилипко—Лесная растительность Азербайджана (на азерб. яз.), 88 стр., цена 1 руб. 25 коп.

Мухаммед Насирэддин Туси—Трактат о полном четырехстороннике (Шақул Гита) (на русск. яз.), 200 стр., цена в перепл. 9 руб. 75 коп.

А. Г. Алиев—Литология майкопских отложений Азербайджана (на русск. яз.), 240 стр., цена в перепл. 16 руб. 80 коп.

Коллектив—Труды конференции по вопросам региональной геологии Закавказья (на русск. яз.), 212 стр., цена в перепл. 12 руб. 40 коп.

Печатаются и в скором времени выйдут в свет:

Вредители сельскохозяйственных культур в Азербайджане и меры борьбы с ними, (на азерб. яз.), 560 стр., цена в перепл. 20 руб. 10 коп.

Коллектив—Материальная культура Азербайджана, т. III (на русск. яз.), 128 стр., цена в перепл. 9 руб. 50 коп.